

МИНИСТЕРСТВО ГЕОЛОГИИ СССР
МИНИСТЕРСТВО ГЕОЛОГИИ РСФСР
ЧИТИНСКОЕ ТЕРРИТОРИАЛЬНОЕ ГЕОЛОГИЧЕСКОЕ УПРАВЛЕНИЕ

Уч. № 042

Эк. № 05185

ГЕОЛОГИЧЕСКАЯ
КАРТА СССР

МАСШТАБА 1:200 000

СЕРИЯ ПРИБАЙКАЛЬСКАЯ

Лист №-50-III

Объяснительная записка

Составители: О. В. Сосникий, А. И. Шишов

Редактор Ю. Д. Пенкин

Утверждено Научно-редакционным советом ВСГЕИ
24 ноября 1968 г., протокол № 35

МОСКВА 1979

ВВЕДЕНИЕ

Территория листа №-50-Ш расположена в западной части Олекмо-Бытимской горной страны и ограничена координатами: $55^{\circ}20'$ – $56^{\circ}00'$, с.ш. и $116^{\circ}00'$ – $117^{\circ}00'$, в.д. В административном отношении изученная территория относится к Каларскому и Тунгокоченскому районам Читинской области и частично к Бурятской АССР.

Северную часть территории занимает Нижнекаларский хребет, простирающийся в северо-восточном направлении. Абсолютные высоты хребта колеблются в пределах 1100–2200 м; относительные понижения над уровнем воды в р.Бытим составляют 600–1500 м, а над поймами прилегающих падей 200–300 м. Южная часть листа расположена в пределах Бытимского плоскогорья, которое характеризуется выраженным водоразделами, разобщенными широкими долинами. Абсолютные отметки высот не превышают 1200 м. Речная сеть представлена р.Бытим с притоками: Калар, Ожогок, Ниж.Джилина и др.

Климат района резко континентальный, со значительными суточными (30°) и годовыми (85 – 90°) колебаниями температур. Минимальная температура воздуха (до -60°) наступает в январе, максимальная (25 – 30°) – в июле. Среднегодовая температура воздуха равна -8°C , что способствует повсеместному распространению в районе многолетней мерзлоты. Среднегодовое количество осадков составляет 311 мм, причем большая часть их выпадает в летний период. Почти вся площадь покрыта лиственничной тайгой, в тольцовой зоне (выше 1200–1400 м) растет кедровый стланик; значительные пространства заболочены.

Животный мир представлен обычными таежными видами. Населенные пункты на территории листа отсутствуют. Путями сообщения являются вычурные тропы. В ближайший населенный пункт – пос.Бамбук – различные грузы доставляются авиатранспортом, в зимний

период – на автомашине по льду рек Витим и Калар. В летнее время сообщение и перевозка грузов осуществляется по рекам Витим и Калар моторными лодками.

Первые сведения о геологическом строении территории листа содержатся в отчете П.И.Преображенского по работам 1912 г. Этим исследователем ниже устья р.Калар были описаны слоистые горы, представленные гнейсами, различными сланцами и реже кристаллическими известняками.

Начиная с 30-х гг. текущего столетия на территории листа проводились геологосъемочные работы масштаба 1:500 000-1:200 000 А.А.Арсеньевым (1934 г.), В.И.Чернышем (1938 г.), Ю.К.Дзевановским (1944 г.), П.А.Смольским (1945 ф.). Наиболее полные данные содержатся в работе Ю.К.Дзевановского. Метаморфический комплекс условно архейского возраста Ю.К.Дзевановский расчленил на две свиты: нижнюю, представленную серыми и темно-серыми гнейсами, кристаллическими сланцами, и верхнюю, характеризующуюся частым чередованием гнейсов и кристаллических сланцев с прослоями мраморов. Кроме того, им выделены протерозойские граниты и мелкие щотки мелкозернистых гранитов верхнеюрского – нижнемелового возраста. Предложенная Ю.К.Дзевановским схема стратиграфии и математизма верно отображает последовательность формирования геологических комплексов.

В 1950 г. на территории листа и за его пределами проводились аэрогаммаиски масштаба 1:100 000 под руководством В.Ф.Токина. В результате этих работ выявлен ряд локальных аномалий, не представляющих практического интереса.

Современные представления о геологическом строении региона сформировались лишь в 1955–1965 гг., благодаря широко развернутым геологическим, тематическим и геофизическим работам. Первые С.П.Смеловским (1956–1965) среди метаморфических образований района выделены два разновозрастных комплекса: верхнеархейский и нижнепротерозойский, которые в свою очередь расчленяются на ряд толщ и свит.

В 1957–1958 гг. район бассейна среднего течения р.Витим был покрыт аэромагнитной съемкой масштаба 1:200 000 под руководством В.В.Сусленикова. Направление выделенных положительных и отрицательных аномалий согласуется с простиранием архейских структур. Положительные аномалии совпадают с полами развития кристаллических сланцев основного состава, слабо подвергнутых переработке метасоматическими и гидротермальными процессами.

В 1960 г. в западной части территории листа под руководством Г.М.Левчука проводилась металлометрическая съемка масштаба 1:200 000. В результате этих работ были выявлены участки для постановки более детальных работ на золото. Проверка этих ореолов в 1962 г., проводившаяся под руководством В.А.Напарта, установила бесперспективность данных участков на золото.

В 1961–1962 гг. в пределах северной части Читинской области проводилась гравиметрическая съемка масштаба 1:1 000 000 под руководством М.В.Иванова и В.Д.Огородникова. В результате этих работ в пределах листа №-50-Ш был выявлен Нижнекаларский гравитационный минимум силы тяжести площадью 1500 км², имеющий пространственно связанный с Нижнекаларским батолитом, сложенным раннепротерозойскими гранитоидами, в основном, метасоматическиго генезиса.

В 1964 г. была издана геологическая карта Байкальской горной области масштаба 1:1 500 000, составленная Л.И.Салопом. Глубокометаморфизованные стратифицированные образования, развитые в западной части района, отнесены Л.И.Салопом к архей (Илеирская толща), развитые в восточной части – к нижнему протерозоду (Кильянская толща).

Государственная геологическая съемка масштаба 1:200 000 проведена для соседних с листом (Кильян и др., 1963) и запада (Кильянов и др., 1964 ф) листов. Геологическая карта изученной территории почти полностью не связана с листом №-50-Ш. Не совпадают граничи распространения метаморфических толщ и интрузивных образований, а также относительная последовательность фаз развития. Так, среднезернистые биотитовые раннепротерозойские интрузии. Так, среднезернистые биотитовые граниты, развитые в бассейне р.Бугрихта-1 (лист №-50-Ш), по данным Д.Жалсбона (1963), прорывают порфировидные граниты, тогда как в пределах листа №-50-Ш между ними установлены обратные взаимоотношения. С листом №-50-П не связано расчленение архейских метаморфических образований. Последние в пределах листа №-50-Ш расчленены на ряд свит и поровит, в то время как на территории листа №-50-П такое расчленение отсутствует. Имеются расхождения с автором листа №-50-П Г.А.Кильяновым в части тектоники возраста рыхлых (четвертичных) отложений, развитых в нижнекаларской толще р.Нижний Жилинда. Возраст этих отложений Г.А.Кильяновым определяется как нижнечетвертичный, нам по данным спорово-пылевого анализа – как верхнечетвертичный.

При составлении настоящей записи, геологической карты и карты полезных ископаемых в основу положены материалы, полученные О.В.Сосницким и А.И.Шишовым в результате проведения геологической съемки были использованы заработанные снимки масштаба 1:200 000 в 1962-1965 гг. В процессе геологической съемки были использованы аэрофотоснимки масштаба I:55 000, что позволило значительно уточнить геологические границы и более полно расширять разрывные тектоники. "Введение" и главы записи "Стратиграфия", "Тектоника" и "Полезные ископаемые" написаны О.В.Сосницким, "Магнитные образования", "Геоморфология" и "Полезные воды" - А.И.Шишовым.

СТРАТИГРАФИЯ

Наиболее древними образованиями на описываемой территории являются архейские глубокометаморфизованные породы, расщлененные нами на три свиты (снизу вверх): усть-ильинскую, витимскую и окотитскую. Нижней протерозой представлен самохтской и бурундинской свитами. Среди четвертичных отложений выделены: средне-четвертичные, верхнечетвертичные, верхнечетвертичные — современные и современные.

APPENDIX

устыдильской свиты. В пределах оли-
вийской территории образования устыдильской свиты широко раз-
виты на правобережье р. Витим в верховьях рек Баладзек, Гумнита и
Талакан, а также в низовьях р. Калар. Основание свиты не известно.
По литологическому составу образования устыдильской свиты в не-
прерывном разрезе расчленены на две подсвиты.
Нижняя подсвита (Aic 1) — амфибол-пироксен-плагиоклазовые,
биотит-пироксен-плагиоклазовые, пироксен-плагиоклазовые, амфи-
бол-плагиоклазовые, редко биотит-амфибол-плагиоклазовые, биотит-
амфибол-пироксен-плагиоклазовые и амфибол-биотит-пироксен-плагиокла-
зовые кристаллические сланцы, прослои биотитовых и гранат-био-
тиловых гнейсов, плагиоклазовых пород и амфиболитов.
В низовых р. Шипа на участке широтного течения р. Витим
С.П. Смеловским (1964) описан следующий разрез этой подсвиты
(снизу вверх):

2. Биотит-пироксен-плагиоклазовые кристаллические сланцы	30,0 м
3. Пироксен-плагиоклазовые кристаллические сланцы	120,0 "
4. Амфибол-биороксен-плагиоклазовые кристаллические сланцы	120,0 "
5. Пироксен-плагиоклазовые кристаллические сланцы	120,0 "
6. Амфибол-пироксен-плагиоклазовые кристаллические сланцы	90,0 "
7. Амфибол-плагиоклазовые кристаллические сланцы с прослоями мощностью 0,2-1,5 пироксен-плагиоклазовых кристаллических сланцев	85,0 "
8. Пироксен-плагиоклазовые кристаллические сланцы, переслаивающиеся с амфибол-пироксен-плагиоклазовыми кристаллическими сланцами	60,0 "
9. Пироксен-плагиоклазовые кристаллические сланцы	70,0 "
10. Амфибол-пироксен-плагиоклазовые кристаллические сланцы	20,0 "
II. Диопсидовые породы	12,0 "
12. Пироксен-плагиоклазовые кристаллические сланцы с редкими прослоями (0,2-1,5 м) биотитовых гнейсов	300,0 "
13. Пироксен-плагиоклазовые кристаллические сланцы	60-75 "
14. Диопсидовые кальцифиры	0,6 "
15. Пироксен-плагиоклазовые кристаллические сланцы	20,0 "
16. Гранат-биотитовые гнейсы	0,2 "
17. Пироксен-плагиоклазовые кристаллические сланцы с единичными прослоями (до 0,5 м) биотит-амфибол-плагиоклазовых кристаллических сланцев	240,0 "
18. Гранат-биотитовые гнейсы	1,5 "
19. Пироксен-плагиоклазовые кристаллические сланцы	3,0 "
20. Диопсидовые породы местами с флогопитовым чехулками	60,0 "
21. Пироксен-плагиоклазовые кристаллические сланцы	5,0 "
22. Гранат-биотитовые гнейсы	3,0 "

23. Диопсидовые породы местами с флогопитами обособленными	120,0 м
24. Биотит-амфибол-плагиоклазовые кристаллические сланцы	30,0 "
25. Диопсидовые породы	8,0 "
26. Пачка тонко переслаивающихся амфибол-биотит-плагиоклазовых (мощность 2-7 мм) и биотит-амфибол-плагиоклазовых (мощность 7-150 мм) кристаллических сланцев. Последние преобладают	70,0 "
27. Пироксен-плагиоклазовые кристаллические сланцы	20,0 "
28. Гранат-биотитовые гнейсы	1,5 "
29. Пироксен-плагиоклазовые кристаллические сланцы с единичными маломощными (мощность до 0,3 м) прослоями лиопсидовых пород	28,0 "
30. Переслаивающиеся гранат-биотитовые и биотитовые гнейсы	3,0 "
31. Пироксен-плагиоклазовые кристаллические сланцы. В них очень редкие и маломощные прослои биотитовых гнейсов	70,0 "
32. Гранат-биотитовые гнейсы	20,0 "
33. Пироксен-плагиоклазовые кристаллические сланцы с редкими прослоями амфибол-плагиоклазовых кристаллических сланцев	160,0 "
34. Гранат-биотитовые гнейсы	1,8 "
35. Пироксен-плагиоклазовые кристаллические сланцы с единичными маломощными (до 0,2 м) прослоями биотитовых гнейсов	30,0 "
36. Амфиолиты	6,0 "
37. Амфибол-пироксен-плагиоклазовые кристаллические сланцы	15,0 "
38. Пироксен-плагиоклазовые кристаллические сланцы	35,0 "
39. Диопсидовые породы	2,0 "
40. Пироксен-плагиоклазовые кристаллические сланцы	70,0 "
41. Гранат-биотитовые гнейсы	4,5 "
42. Амфибол-пироксен-плагиоклазовые кристаллические сланцы	2,5 "
43. Диопсид-плагиоклазовые кристаллические сланцы	2,3 "

44. Диопсидовые породы	0,6 м
45. Пироксен-плагиоклазовые кристаллические сланцы с прослоями (0,3-0,5 м) биотит-амфибол-пироксен-плагиоклазовых кристаллических сланцев	40,0 "
46. Диопсидовые породы	0,6 "
47. Пироксен-плагиоклазовые кристаллические сланцы	8,0 "
48. Диопсидовые породы	7,0 "
49. Пироксен-плагиоклазовые кристаллические сланцы	2,0 "
50. Биотитовые гнейсы	0,2 "
51. Диопсидовые породы	100,0 "

По положению диопсидовых пород в разрезе нижней подсвиты Усть-Дилинской свиты установлено три крупных двухкомпонентных ритма мощностью около 800 м. Каждый ритм начинается кристаллическими сланцами основного состава и заканчивается диопсидовыми породами. Пласти диопсидовых пород по простирианию простягиваются на 5-10 км. Разрез подсвите довольно выдержан и по простирианию не испытывает существенных изменений.

Верхняя подсвита (А и с 2) – амфибол-плагиоклазовые, реже пироксен-плагиоклазовые и пироксен-амфибол-плагиоклазовые, реже пироксен-плагиоклазовые и биотит-плагиоклазовые кристаллические сланцы, прослои биотитовых, амфибол-биотитовых и амфиболитов. Амфиболовых гнейсов, кальциев, мраморов и амфиболитов. На участке широтного течения р. Витим ниже устья р. Бугариха для верхней подсвите Усть-Дилинской свиты установлен следующий разрез (снизу вверх):

1. Биотит-плагиоклазовые кристаллические сланцы с прослоями пироксен-плагиоклазовых кристаллических сланцев
2. Биотит-плагиоклазовые и амфибол-плагиоклазовые кристаллические сланцы с редкими прослоями биотитовых гнейсов
3. Биотит-амфибол-плагиоклазовые кристаллические сланцы
4. Биотит-плагиоклазовые, редко биотит-амфибол-плагиоклазовые кристаллические сланцы с прослоями биотитовых гнейсов
5. Мраморы

7. Мраморы	• • • • •	240 м
8. Пироксен-плагиоклазовые и биотит-амфибол-		5 "
9. Биотит-амфибол-плагиоклазовые кристалличес-		
кие сланцы	• • • • •	160 "
10. Мраморы с флюгопитом	• • • • •	120 "
Мощность верхней подсвиты равна 1300 м. По вышеизведенно-		
установлено три двухкомпонентных ритма. Нижний компонент каждо-		
го ритма сложен кристаллическими сланцами, верхний — карбонат-		
ными породами. К верхам разреза подсвиты наблюдается уменьшение		
мощности нижнего компонента от 770 м для первого ритма до 240		
и 280 м для второго и третьего ритмов.		
Аналогичный разрез верхней подсвиты устьшинской свиты		
устанавливается на правобережье р. Витим, выше устья р. Калар.		
Низ подсвиты здесь, вероятно, уничтожены раннепротерозойскими		
транзитами. Разрез имеет следующий вид (снизу вверх):		
1. Амфибол-биотитовые гнейсы с частями прослоек		
и с горизонтом мраморов мощностью 2 м верху пачки	• • 80 м	
2. Биотит-амфибол-плагиоклазовые кристаллические		
сланцы с двумя прослоями мраморов мощностью 0,3 м	• • 30 "	
3. Биотит-амфиболовые и амфибол-биотитовые гней-		
сы с прослоями биотит-амфибол-плагиоклазовых кристалли-		
ческих сланцев и с горизонтом мраморов мощностью 0,6 м		
верху пачки	• • • • •	
4. Биотит-амфибол-плагиоклазовые, редко пирок-		
ен-амфиболовые кристаллические сланцы	• • 350 "	
Видимая мощность подсвиты по данному разрезу равна 700 м.		
Первый и второй горизонты данного разреза отмечают верхам перво-		
го ритма предшествующего разреза, а третий и четвертый горизонты —		
соответственно второму и третьему ритмам.		
Аналогичный набор пород верхней подсвиты по ряду геологических		
маршрутов устанавливается на водоразделе рек Долуга и Та-		
жакан, где из-за плохой обнаженности составить геологический раз-		
рез не представляется возможным.		
В и т и м с к а я с в и т а . Витимская свита залегает		
глубоко на устьшинской и отличается от последней более час-		
тот и тонким пересланением слагающих ее пород. Представлена		
и биотит-плагиоклазо-и кристаллическими сланцами, биотито-		

вым и амфибол-биотитовыми гнейсами с прослойками и линзами мраморов, кальцифиров, кварцово-нейтосов и редко амфиболов. Очень редко встречаются кристаллические сланцы и гнейсы, содержащие в своем составе пироксен и транат. Развита она в бассейне р.Бугра-рикта на участке широтного течения р.Витим, в низовьях р.Окто-кит, в верховых рек Тостур, Гулнга и Талкан. Согласное залегание витимской свиты на усть-чилинской отчетливо фиксируется на правобережье р.Витим, ниже устья р.Бугарихта, где на биотит-амфибол-плагиоклазовых кристаллических сланцах усть-чилинской свиты согласно залегает пачка биотит-плагиоклазовых кристаллических сланцев и биотитовых гнейсов витимской свиты. Нам витимская свита подразделена на три подсвиты. Расчленение на подсвиты произведено в непрерывном разрезе.

Нижняя подсвита (Аγт) — биотит-плагиоклазовые кристаллические сланцы, реже биотитовые гнейсы, прослои биотит-амфибол-плагиоклазовых кристаллических сланцев и мраморов. На участке широтного течения р. Витим в районе устья р. Бутариха установлен

следующий разрез подсвечен (снизу вверх):
I. Пересланье биотитовых гнейсов и кристаллических сланцев с преобладанием последних. 160 м

с прослойем в нижней части мраморов мощностью 25 см	35
5. Биотитовые гнейсы с прослойками биотит-шилло-	
клавовых кристаллических сланцев	300
	228

6. биотит-плагиоклазовые кристаллические сланцы
7. Биотит-плагиоклазовые кристаллические сланцы
с прослоями биотит-амфибол-плагиоклазовых кристаллов

Ческая планировка 8. Биотит-плагиоклавые кристаллические сланцы 66 " Столовая мощность подсвят по данному разрезу 1550 м. В низовых р.Джелу разрез нижней подсвят витимской свиты

В И Т И М С К А Я С В И Т А. Витимская свита залегает согласно на усть-ильинской и отличается от последней более чистым и тонким пересланением слагающих ее пород. Представлена она биотит-шпатомиктовой и кристаллическими сланцами, биотит-

Средняя подсвига (Avt_2) биотитовые и амфибол-биотитовые гнейсы, реже биотит-плагиоклазовые и амфибол-биотит-плагиоклазовые кристаллические сланцы, прослои мраморов и кальцифиров.

На правом берегу р.Витим выше устья р.Бутарихи эта подсвига имеет следующее строение (снизу вверх):

1. Переслаивание биотит-плагиоклазовых кристаллических сланцев и биотитовых гнейсов	• • • • •	53 м		
2. Биотитовые гнейсы с прослоями биотит-плагиоклазовых кристаллических сланцев	• • • • •	132 "		
3. Биотитовые гнейсы	• • • • •	440 "		
4. Биотит-плагиоклазовые кристаллические сланцы с редкими прослоями биотитовых гнейсов	• • • • •	160 "		
5. Биотит-плагиоклазовые кристаллические сланцы с частями прослоев биотитовых гнейсов	• • • • •	130 "		
6. Мраморы	• • • • •	2 "		
7. Биотит-плагиоклазовые кристаллические сланцы с прослоями биотитовых гнейсов	• • • • •	60 "		
8. Мраморы	• • • • •	180 "		
9. Биотит-плагиоклазовые кристаллические сланцы	• • • • •	10. Переслаивание биотитовых гнейсов и биотит-плагиоклазовых кристаллических сланцев	• • • • •	180 "

Характер переслаивания

1. Биотитовые гнейсы	• • • • •	18 см
2. Биотит-плагиоклазовые кристаллические сланцы	• • • • •	7 "
3. Биотитовые гнейсы	• • • • •	5 "
4. Биотит-плагиоклазовые кристаллические сланцы	• • • • •	2 "
5. Биотитовые гнейсы	• • • • •	6 "
II. Биотитовые гнейсы	• • • • •	130 м
12. Биотитовые гнейсы с редкими прослоями биотит-плагиоклазовых кристаллических сланцев. В нижней части пачки прослой биотит-амфибол-плагиоклазовых кристаллических сланцев мощность 1,5 м	• • • • •	240 "
13. Мраморы	• • • • •	10 "

Мощность подсвиги по данному разрезу 1700 м.

В средней подсвиге улавливается отдельные двух- и трехкомпонентные ритмы разных порядков. Циклический сочетанием: биотит-плагиоклазовый кристаллический сланец - биотитовый гнейс, биотит-плагиоклазовый кристаллический сланец - биотитовый гнейс - мрамор.

Аналогичный набор пород по ряду геологических маршрутов устанавливается в бассейне рек Октохт, Джелу и др.

Верхняя подсвига (Avt_3) – биотит-плагиоклазовые, амфибол-биотит-плагиоклазовые и биотит-амфибол-плагиоклазовые кристаллические сланцы, реже биотитовые и амфибол-биотитовые гнейсы, прослой мраморов, кварцито-гнейсов и амфиболитов.

На правом берегу р.Витим выше устья р.Бутариха установлен слой мраморов, кварцито-гнейсов и амфиболитов.

На правом берегу р.Витим выше устья р.Бутариха установлен следующий разрез в верхней подсвиги (снизу вверх):

1. Биотит-амфибол-плагиоклазовые кристаллические сланцы с редкими прослоями (0,5 м) кварцито-гнейсов	• • • • •	60 м
2. Биотит-плагиоклазовые кристаллические сланцы с редкими прослоями биотитовых гнейсов и с прослоем мраморов мощностью 1,5 м в средней части пачки	• • • • •	202 "
3. Биотит-плагиоклазовые кристаллические сланцы с прослоем биотитовых гнейсов	• • • • •	317 "
4. Биотитовые гнейсы и биотит-плагиоклазовые кристаллические сланцы	• • • • •	80 "
5. Биотит-плагиоклазовые кристаллические сланцы с прослоем кварцито-гнейсов мощностью 5 м в центральной части пачки	• • • • •	270 "
6. Кварцито-гнейсы	• • • • •	20 "
7. Биотит-плагиоклазовые кристаллические сланцы	• • • • •	25 "
8. Кварцито-гнейсы с прослоями мраморов и биотит-плагиоклазовых кристаллических сланцев	• • • • •	70 "
9. Биотит-плагиоклазовые кристаллические сланцы и гнейсы	• • • • •	60 "
10. Мраморы	• • • • •	20 "

Неполная мощность верхней подсвиги витимской свиты по данному разрезу 130 м. Полная мощность подсвиги, по-видимому, превышает 1300 м. Разрез подсвиги довольно выдержан. Только в бассейне р.Октохт в составе подсвиги появляются амфибол-серпентиновые ритмы разных порядков. Каждый ритм начинается биотит-плагиоклазовыми кристаллическими сланцами и заканчивается кварцито-гнейсами. Транзит между ритмами вается мраморами или кварцито-гнейсами. Ритмы между ритмами четкие.

По данному разрезу отчетливо улавливаются отдельные двух- и трехкомпонентные ритмы разных порядков. Каждый ритм начинается биотит-плагиоклазовыми кристаллическими сланцами и заканчивается биотит-плагиоклазовыми кристаллическими сланцами. Транзит между ритмами восточной части описываемой территории в бассейне р.Октохт. Представлена свита амфибол-плагиоклазовыми, пироксен-амфибол-плагиоклазовыми кристаллическими сланцами с прослоями биотитовых,

амфибол-биотитовых и амфиболовых гнейсов, амфиболитов, редко мраморов. Залегает она согласно на витимской свите. Это подтверждается тем, что в низовых р.Октокит на биотит-плагиоклазовых кристаллических сланцах витимской свиты согласно и с постепенным переходом залегает пачка биотит-амфибол-плагиоклазовых кристаллических сланцев октокитской свиты.

Характерным признаком для октокитской свиты является наличие в ее составе амфиболовых кристаллических сланцев и гнейсов, содержащих амфибол в виде отдельных штолек или линзовидных скоплений размером до 0,8-1,5 см. Октокитская свита, на основании различий литогологического состава в непрерывном выходе, наим расчленена на две подсвиты: нижнюю и среднюю. Породы верхней подсвиты в пределах изученной территории не встречены.

Нижняя подсвита (А_ок₁) – биотит-амфибол-плагиоклазовые, амфибол-плагиоклазовые, пироксен-плагиоклазовые, амфибол-биотит-плагиоклазовые, биотит-амфиболовые и амфибол-биотитовых гнейсов, редко амфиболитов.

В низовых р.Октокит (приток р.Таксима) описан следующий разрез этой подсвиты (снизу вверх):

1. Переслаивание биотит-амфиболовых гнейсов и биотит-амфибол-плагиоклазовых кристаллических сланцев; редкие прослой серых амфибол-биотит-плагиоклазовых кристаллических сланцев	500 м
2. Биотит-амфибол-плагиоклазовые кристаллические сланцы с частыми прослой мощностью до 1,5 м амфибол-биотит-плагиоклазовых кристаллических сланцев, реже биотит-амфиболовых гнейсов	500 "
3. Переслаивание биотитовых гнейсов и биотит-плагиоклазовых кристаллических сланцев с биотит-амфибол-плагиоклазовыми кристаллическими сланцами	475 "
4. Биотит-амфибол-плагиоклазовые, реже амфибол-биотит-плагиоклазовые кристаллические сланцы с 15-метровым линзовидным прослойем амфиболитов	150 "
5. Биотит-амфиболовые гнейсы, реже амфибол-плагиоклазовые кристаллические сланцы	175 "

Мощность подсвиты по данному разрезу 1800 м.

Аналогичный разрез нижней подсвиты установлен на левом берегу р.Калар выше устья р.Октокит (снизу вверх):

1. Амфибол-биотит-плагиоклазовые, реже биотит-амфиболовые прослойами амфиболитов мощностью 1-2 м

2. Биотит-амфибол-плагиоклазовые кристаллические сланцы с прослойми биотитовых гнейсов мощностью 1-5 см

200 м

3. Биотитовые гнейсы с прослойми биотит-амфибол-плагиоклазовых и амфибол-плагиоклазовых кристаллических сланцев

100 "

4. Биотитовые гнейсы с прослойми биотит-амфибол-плагиоклазовых кристаллических сланцев

100 "

5. Амфибол-плагиоклазовые, редко пироксен-амфибол-плагиоклазовые кристаллические сланцы

800 "

6. Биотитовые и биотит-амфибол-плагиоклазовые гнейсы с прослойами амфибол-плагиоклазовых кристаллических сланцев

700 "

Мощность подсвиты по данному разрезу 2400 м. Так как на некоторых участках разрез составлен по элеви, не исключена возможность, что мощность нижней подсвиты несколько завышена.

Средняя подсвита (А_ок₂) – амфибол-плагиоклазовые, пироксен-амфибол-плагиоклазовые, биотит-амфибол-плагиоклазовые кристаллические сланцы, прослой амфиболитов, биотит-амфиболовых гнейсов, в верхах разреза – мраморов.

В низовых р.Октокит установлен следующий разрез средней подсвиты октокитской свиты (снизу вверх):

1. Биотит-амфибол-плагиоклазовые и амфибол-плагиоклазовые кристаллические сланцы

200 м

2. Биотит-амфиболовые гнейсы с прослойми амфибол-плагиоклазовых кристаллических сланцев и амфиболитов

75 "

3. Биотит-амфибол-плагиоклазовые кристаллические сланцы с прослойми биотит-амфиболовых гнейсов

250 "

4. Биотит-амфибол-плагиоклазовые кристаллические сланцы с прослойми амфиболитов

350 "

5. Амфибол-плагиоклазовые кристаллические сланцы с прослойми мощностью 5-10 м амфиболитов

125 "

Наполная мощность подсвиты по данному разрезу 1050 м. Аналогичный разрез средней подсвиты описан на правом берегу р.Калар выше устья р.Октокит (снизу вверх):

1. Биотит-амфибол-плагиоклазовые, реже амфибол-плагиоклазовые, кристаллические сланцы с редкими прослойами амфиболитов мощностью 5-10 м

225 м

2. Переслаивание биотит-амфибол-плагиоклазовых кристаллических сланцев и биотит-амфиболовых гнейсов

325 "

кристаллическими сланцами с единичными прослоями амфиболитов мощностью 1-2 м

500 "

14

15

3. Биотит-амфибол-плагиоклазовые, редко пироксен-амфибол-плагиоклазовые кристаллические сланцы с прослоями амфиболитов мощностью до 10 м 400 м

4. Биотит-амфибол-плагиоклазовые и амфибол-плагиоклазовые кристаллические сланцы с частыми линзовидными прослоями (до 5-6 м) амфиболитов 160 " Мощность покровных по данному разрезу - 170 м. Общая мощность архейских образований на изученной территории составляет II 200-II 300 м.

Наличие в составе вышеописанных свит мраморов и кварцито-гнейсов, а также четко выраженная полосчатость, сопровождающаяся сплоистостью (поверхностями напластования мраморов и кварцито-гнейсов), свидетельствует о первичном карбонатно-терригенном составе значительной части архейских образований. Последнее подтверждается ритмичным строением устьцелинской и витимской свит.

По появлению карбонатных пород и кварцито-гнейсов в разрезе выделенных подсвит отчетливо улавливаются двух- и трехкомпонентные ритмы разных порядков. Наличие в низах и верхах данного комплекса пластовых и линзовидных тел однородных, массивных или сланцеватых амфибол-плагиоклазовых, пироксен-амфибол-плагиоклазовых кристаллических сланцев и амфиболитов свидетельствует о значительном развитии в составе устьцелинской и октокитской свит вулканогенных образований. Подавляющее большинство пород, слагающих архейский комплекс, является диаборитами. Очень редко встречаются неизмененные породы гранулитовой фации (типерстенсдорфиты, мраморы и кварцито-гнейсы). Пироксенодержащие кристаллические сланцы - это темно-серые с зеленоватым оттенком сланцы, редко массивные породы с толстошлифчатой отдельностью. Структура лепидотранобластовая, апотранобластовая, петробластовая. Минеральный состав (в %): пироксен - I-15, амфибол 10-45, плагиоклаз 25-55, кварц 0-10, калиевый полевой шпат 0-12. Амфес-сорные минералы представлены апатитом, сфеном, цирконом и рудным минералом.

Пироксен встречается в виде короткотризматических зерен, замещающихся амфиболом: представлен диопсидом, диопсид-авгитом, редко - тиберстертом. Амфибол представлен роговой обманкой зеленого, буро-зеленого, сине-зеленого и редко - коричневого цвета. Биотит встречается в виде удлиненных чешуй коричнево-бурого, коричнево-красного, реже зеленовато-бурового цвета. Плагиоклаз по основности отвечает андезину, редко - лабрадору. Кварц и

калиевый полевой шпат встречаются в виде неправильных зерен.

Иногда последний образует крупные порфиробласты. Пироксенодержащие гнейсы отличаются от вышеописанных кристаллических сланцев резким увеличением содержания кварца и уменьшением роли фемиевых минералов. В гнейсах плагиоклаз отвечает олигоклазу и олигоклаз-андезину.

Лиопсилловые породы - это массивные или сланцеватые породы зеленого цвета. Почти нацело состоят из лиопсида. В небольших количествах присутствует плагиоклаз - 10-14%, биотит - до 1%, роговая обманка - 2%, кварц - 1-2%. Структура их гранобластовая. Лиопсилловые породы - это массивные мелко- и среднезернистые до крупнозернистых пород. Структура их гранобластовая, текстура массивная. Порода состоит из изометричных или слабо уплощенных зерен карбоната размером от 0,4 до 1 см. Участками они содержат в количестве 5-10% оливина, пироксена и графита.

Кварцито-гнейсы - это светло-серые массивные мелко- и среднезернистые породы. Структура их гранобластовая, текстура - массивная. Состоит из кварца - 55%, плагиоклаза - 35%, калиевого полевого шата - 7% и биотита - 4%. Кварц представлен овально-массивными зернами с заузуренными контурами, участками со слабо выраженным волнистым утасанием. Плагиоклаз по основности отвечает андезину и представлен таблитчатыми зернами, зачастую с неправильными контурами. Иногда в плагиоклазе встречаются миремкиевые вростки кварца. Нерешетчатый калиевый полевой шпат встречается в виде таблитчатых зерен с неровными краями. Биотит представлен чешуйками зеленовато-бурового цвета; иногда замещается хлоритом.

Диаборированные породы представлены кристаллическими сланцами (амфибол-плагиоклазовыми, биотит-амфибол-плагиоклазовыми), гнейсами (амфиболовыми, биотит-амфиболовыми, амфибол-биотитовыми) и амфиболитами. Между кристаллическими сланцами существуют переходы, обусловленные различными количественными соотношениями минералов. Диабориты, за редким исключением, не подвернуты структурной перестройке.

Амфибол-плагиоклазовые и биотит-амфибол-плагиоклазовые кристаллические сланцы - это серые или темно-серые с зеленоватым оттенком породы с лепидотранобластовой и гипоморфобластовой структурой и сланцеватой или полостчатой текстурой. Отдельность плитчатая. Минеральный состав (в %): плагиоклаз 30-65, калиевый полевой шпат 0-10; амфибол 10-50, биотит 2-10 и кварц 5-10. Из

акессорных минералов присутствуют гранат, апатит, сфен, рудный минерал и циркон. Содержание их колеблется от 0 до 3-4%. Плагиоклаз встречается в виде таблитчатых с неровными краями, редко неправильных зерен с хорошо выраженным полисинтетическим призниками. По основности плагиоклаз отвечает альбит-олигоклазу, олигоклазу или андезину, очень редко лабрадору. Иногда плагиоклаз содержит антишеритовые вrostки калиевого полевого шпата или мирамелита, реже — пойкилобласти кварца. Калиевый полевой шпат встречается в виде неправильных зерен, затянувших прожилки между кристаллами плагиоклаза или образует крупные порфиробласти, иногда с хорошо выраженной микроклиновой решеткой. Часто калиевый полевой шпат развивается по плагиоклазу, корродируя его и даже цемиком замещая. Кварц представлен неправильными или неправильно удлиненными зернами часто с волнистым потасанием. Амфибол представлен сине-зеленой, зеленой, реже зеленово-бурый или коричневой роговой обманкой и встречается в виде удлиненных отчетливо плохородиющих зерен. Амфибол-плагиоклазовые кристаллические сланцы, встречающиеся в разрезе октокитовой свиты, содержат амфибол в виде иллок или линзовидных складений размером от долей миллиметра до 1,5 см. Иногда по роговой обманке развиваются биотит. Последний встречается в виде бурая, реже зеленово-бурых пластинок или чешуй. Редко встречается коричневато-бурый рудный минералом.

Биотит-плагиоклазовые кристаллические сланцы — темно-серые с пликтантной отдельностью породы. Структура их лепидотрапециевая, текстура сланцеватая или полосчатая. Состоит из буровато-зеленого, редко коричнево-бурого биотита (20-30%), плагиоклаза (30-44%), кварца (до 10%) и кальевого полевого шпата (15-30%). Аксессорные минералы представлены апатитом, сференом, пироксено и рудным минералом.

Биотитовые гнейсы — это серые и светло-серые мелкозернистые, отчетливо гнейсовидные полосчатые породы. Структура гранито-нейсивидная или полосчатая. Порода состоит из чередующихся полос, отличающихся друг от друга структурой и содержанием темно-цветных минералов. Мощность темных полос колеблется от долей миллиметра до 1-2 мм, светлых — от нескольких миллиметров до 1-2 см. Состав гнейсов (%): кварц 16-55, плагиоклаз (олигоклаз) 15-80, калиевый полевой шпат 5-40, биотит 5-15, из акессорных минералов отмечены апатит, рудный минерал, сферен.

Метаболиты — темно-зеленые породы с массивной или сланцеватой текстурой. Структура их гранобластовая, гетеробластовая и необластовая. Состоит они (в %) из роговой обманки 55-60, буровато-зеленого биотита 2-5, плагиоклаза (олигоклаз или андезин) 20-30, кварца 0-10, калиевого полевого шпата 0-10. Из акессорных минералов присутствуют сферен, апатит и рудный минерал.

Минеральный состав метаморфизованных пород в значительной степени зависит от состава исходных пород. Так, в составе усть-цилинской и октокитовой свит преобладающими породами являются амфибол-плагиоклазовые кристаллические сланцы. В составе этих пород существенную роль играет бурая и зеленово-бурая роговая обманка, по которой развивается сине-зеленая роговая обманка. Именно в этих породах и встречаются реликты гиперстена. Таким образом, главными фемитическими минералами пород усть-цилинской и октокитовой свит до дайвергеза их в амфиболовой фации регионального метаморфизма были амфиболы и пироксены. Витимская свита представлена в основном биотит-плагиоклазовыми кристаллическими сланцами, реже гнейсами. Одним из главных породообразующих минералов этих пород является зеленово-бурый биотит, развиившийся по континентальному биотиту. Следовательно, главным фемитическим минералом кристаллических сланцев и гнейсов витимской свиты до дайвергеза был биотит. Эти выводы подтверждаются и характером процессов ультратектонизма. Так, если в пределах полей усть-цилинской свиты проявляется ультратектонизм, проявили себя, главным образом, в зародышами город, среди отложений витимской свиты — в образовании кислых магматитов, то среди пород октокитской свиты — в образовании метасоматических габбро, магматитов и птигматитов основного состава.

Состав птигматитов основного состава и магматитовых прожилков амфиболовый, пироксен-амфиболовый, реже полевошпат-амфиболовый. Зачастую полевой шпат и амфибол пространственно разделены. В таких случаях краевые части жилок сложены амфиболовом (или пироксеном и амфиболовом), центральные части — полевошпатовым агрегатом. Мощность прожилков колеблется от нескольких миллиметров до 1-5 см. Контакты таких жил четкие или распыльчатые. Однако везде их контакты неровные: новообразованные минералы (амфибол и полевой шпат) своими гранями срезают плоскости раскола сланцевания и замещающих их кристаллических сланцев. Встречаются также обособленные из габбрового состава в виде линзовидных, реже неправильных тел размером от долей сантиметра до первых десятков сантиметров. В таких обособленных гнейсовых выделениях не наблюдается и породы являются

массивными в отличие от сланических вмешанных их кристаллических сланцев. Штигматиты основного состава скуют кислые артерии. Покрытием среди архейских образований. Они характеризуются морфологическим разнообразием, обусловленным степенью насыщенности их жилами различной формы и мощности. Контакты между жилами и субстратом резкие, реже постепенные. По составу жильный материал отвечает граниту.

На основании петрографического изучения пород устьцепинской, витимской и октокитской свит выделены следующие главные парагенетические ассоциации породообразующих минералов:

1. Гиперстен – диопсид – бурая роговая обманка – амазонит.
2. Гиперстен – бурая роговая обманка – лабрадор – коричнево-бурый биотит.
3. Диопсид – зеленая роговая обманка – олигоклас – бурый биотит – кварц.
4. Сине-зеленая роговая обманка – олигоклас – бурый биотит – кварц.
5. Зеленовато-бурый биотит – олигоклас – кварц – калиевый полевой шпат.

Два первых парагенезиса характерны для гранулитовой фации, оставшиеся – для амфиболитовой. Наиболее широким распространением пользуется парагенезис амфиболитовой фации. Реликты минеральных ассоциаций, характерных для гранулитовой фации регионального метаморфизма, отмечены во многих местах по всему разрезу вышеупомянутых свит. Это налипие коричневого и коричнево-бурового биотита, коричнево-бурового и зеленовато-бурового амфибола. Отмеченные реакционные взаимоотношения между такими минералами как гиперстен и диопсид, гиперстен и зеленая роговая обманка, диопсид и зеленая роговая обманка, бурая роговая обманка и зеленая роговая обманка, роговая обманка и бурый биотит, коричневый биотит по предыдущему, а также налипие гломеробластовых структур свидетельствует, что амфиболитовая фация является регressiveной по отношению к гранулитовой.

Архейский возраст описанных образований устанавливается на основе следующих данных:

1. Анализ минеральных парагенезисов показывает, что эти породы претерпели гранулитовую фацию метаморфизма, но оказались неустойчивыми в условиях повторного метаморфизма, связанного с раннепротерозойскими тектоническими движениями и подверглись более низкотемпературным преобразованиям.

2. В региональном плане структуры рассматриваемого комплекса образуют ряд дуг, обращенных выпуклой стороной на север, в то время как для образований раннего протерозоя характерны северо-восточные простирания структур. Таким образом, между указанными комплексами существует азимутальное несогласие.

3. С метаморфическими породами архейского комплекса простирающими и генетически связанными реоморфические чарношки, отсутствующие на площадях развития раннепротерозойских образований.

4. Описание пород сходны с образованиями серии Зеренчурских хребтов Станового и Джункура, а также с древними образованиями, различными в бассейнах рек Мугалакан, Олекма и Моточа.

Возраст последних А.Ф.Озерским (1966) и другими датируется как архейский. Отнесение их к архею основано на том, что между ними и раннепротерозойскими образованиями в региональном плане наблюдается крупное структурное несогласие. Кроме того, архейские образования обладают признаками прогressiveного метаморфизма гранулитовой фации. Что же касается корреляции разрезов, то одними исследователями (Фалькин, 1967) иминская свита, залягавшая в основании архей Моточинской глыбы сопоставляется с нижней подсвитой октокитской свиты, другими (Смоловский, 1966 г.) – с устьцепинской свитой. Авторы считают верной вторую точку зрения.

5. Абсолютный возраст пород в верхней подсвите устьцепинской свиты, по данным калий-аргонового метода, равен 2730 млн. лет (табл. I, ан. 4). Другие определения абсолютного возраста пород архейского комплекса на площади листа (1210, 169, 228, 197 млн. лет, табл. I, ан. I, 2, 3, 5) показывают, что они "омоложены" в поздне-протерозойское и мезозойское время в связи с тектономагматической активизацией района.

ПРОТЕРОЗОЙ

НИЖНИЙ ПРОТЕРОЗОЙ

Нижнепротерозойские отложения развиты в западной части территории листа, слагая непрерывную полосу выходов, вытянутую в субмеридиональном направлении и ограниченную с востока Талаканским разломом. Они представлены терригенно-карбонатными отложениями, в составе которых выделены две свиты (снизу вверх): самокутская и бугульминская. Самокутская свита в пределах описываемой территории представлена только нижней подсвитой.

Таблица I

№ анализа	Место взятия и полевой № образца, автор коллекции	Порода	Анализированный материал	K г/г	K_{40} г/г	$Ar_{40} \text{ см}^3/\text{г}$	Arг/г	$\frac{Ar_{40}}{K_{40}}$	Возраст в млн. лет
I	2	3	4	5	6	7	8	9	10
I	Низовье р.Окто- кит Каларский. Обр.2133/1. О.В.Сосницкий, 1965.	Амфибо- лит	Биотит	0,0460	$5,61 \cdot 10^{-6}$	$3,05 \cdot 10^{-5}$	$3,45 \cdot 10^{-8}$	0,0097	169
2	Низовье р.Окто- кит Каларский. Обр.2133/10. О.В.Сосницкий, 1965	Амфибол- плагио- клаво- вый кри- сталли- ческий сланец	Амфибол	0,0090	$1,10 \cdot 10^{-6}$	$7,0 \cdot 10^{-6}$	$1,25 \cdot 10^{-8}$	0,0113	197

Продолжение табл.I

I	2	3	4	5	6	7	8	9	10
3	Низовье р.Окто- кит Каларский. Обр.2133/1. О.В.Сосницкий, 1965.	Амфибо- лит	Амфибол	0,0054	$6,59 \cdot 10^{-7}$	$4,94 \cdot 10^{-4}$	$8,83 \cdot 10^{-9}$	0,0134	228
4	Низовье р.Калар. Обр.5736. И.С.Седова, 1965.	Амфибол- диопси- довая порода	Диопсид	0,000175	$2,14 \cdot 10^{-8}$	$3,98 \cdot 10^{-6}$	$7,13 \cdot 10^{-9}$	0,334	2730
5	Низовье р.Калар. Обр.5766. И.С.Седова, 1965.	Диопсид- гранато- вая по- рода	Диопсид	0,00023	$2,81 \cdot 10^{-8}$	$1,46 \cdot 10^{-6}$	$2,61 \cdot 10^{-9}$	0,0903	1210

Анализ выполнены младшим научным сотрудником ЛАГЕД АН СССР С.Яковлевой под руководством Э.К.Герлинга.

С а м о к у т с к а я с в и т а. Нижняя подсвита (Pt_1 , m) — слюдисто-кварцевые, биотитовые, амфиболовые метаморфизованные песчаники, сланцы, кристаллические известняки. Развита подсвита в низовых рек Талакан и Долуга. В структурном отношении отложения ее слагают ядро Талаканской антиклинали. От более древних образований отложения подсвиты, по-видимому, отделены перидом и несогласием, которое фиксируется несопадением ориентировки складчатых структур. Ввиду плохой обнаженности, а также значительного развития дисъюнктивных нарушений в пределах листа № 50-II для нижней подсвиты самокутской свиты нами разрез не составлен.

На территории листа 0-50-ХХIII Н.П. Андреевым (Кибанов, 1964) описан следующий разрез нижней половины самокутской свиты в низовьях р.Гудучь (снизу вверх):

1. Песточки с редкими линзами мощностью до 10 м
микролитических конгломератов • • • • • • • • • •

3. Песчаники с редкими прослойками биотитовых и амфибол-биотитовых сланцев	400 "	25
--	-------	----

4. Песчаники с прослойками сланцев 5. Песчаники, переслаивающиеся с кварцитами и из-	600
---	-----

Ваша с известняками 300 " 9. Кварцитовые песчаники и кварциты, переслаи-
ванные с песчаниками 300 "

10. Известняки с редкими прослойками кварцитов . . . 80-150" Мощность прослойки по ценному разрезу 2580-2650 M.

В восточном направлении мощность нижней подсвиты самокут-
ской сгущается и в высоких п. Титанта (пласт № 50-1) по-

планом Г.А. Кисанова (1964), составляет 1800–2000 м. В Низовье р. Таксима (лист 0–50–XXXIII) мощность этой подсвиты составляет 1840 м (Фалькин, 1964). Шире 1800 м она оценивается мощность нижней подсвиты в пределах листа № 50–III.

Судя по отдельным частным разрезам и набору пород, разрез нижней подсвиты самокутской свиты, развитой в пределах листа №-50-Ш, согласим полностью с разрезом низовьев р.Тулунь.

В пределах изученной территории наибольшим распространением среди пород нижней полосы пользуются песчаники. Это серые и светло-серые рассланцованые породы с плитчатой отдельностью. Сильно рассланцованые разности приобретают облик памятовых сланцев. Песчаники состоят из обломочного материала и цементирующей массы. Последняя преобладает. В сплошь перекристаллизованных разностях обломочный материал представлен овально-вытянутыми субугловатыми зернами шпатоклаза, реже кварца. Цементирующая масса состоит из серого кристаллического кремнистого вещества или кварцевого агрегата и скоплений тончайших шилок биотита. В сильно перекристаллизованных разностях (псамитовых сланцах) главными компонентами являются (в %): роговая обманка 10–50, биотит 15–25, шпатоклаз 20–40, кварц 30–50 и кальцит полевой шпат 0–10. Из акцессорных минералов отмечены апатит, эпидот, пироксен, сферен, гранат и рудный минерал.

часто в составе албит-кальцита. В составе пегматитов присутствует метаморфизованное албитовое сланцы в виде прослоев мощностью до 10 см и более, состоящие из тонких слоев темно-серого цвета, состоящие из цементирующей массы и обломочно-глинистого материала албитовой размерности. Обломочный материал занимает до 5-10% породы и представлен кварцем. Цементирующая масса состоит (в %) из кварца - 40, шпатоклаза - 5, хлорита - 5, сподиолитовых минералов - 40 и землистых скопленный эпидота - 1. В слабо метаморфизованных разностях из сподиолитов минералов преобладает серцит, в сильно метаморфизованных - биотит.

Кристаллические известняки в южной части
чиленную роль, встречаясь по всему разрезу. Залегают они в виде
выдержаных прослоев мощностью от нескольких метров до первых
десятков метров. По простиранию прослеживаются до 8 км. Макро-
скопически это светло-серые и серые мягко- и среднезернистые
massивные породы. Составят они из изометричных зерен кальцита.
Биотит-плагиоклавые и амфибол-биотит-плагиоклавые слан-
цы — темно-серые породы с шлифчатой отдельностью. Состав из
амфибола (30–46%), биотита (26%), плагиоклаза (10%), калиевого
полевого шпата (20–25%), кварца (23%) и акцессорных минералов,
представленных апатитом и рудным минералом.

Анализ распространения в разрезе и по линии
парагенетических ассоциаций позволяет говорить о регионально зо-
нальном метаморфизме пород нижней подсвиты самонутской свиты.
Это подтверждается налпением в разных участках различных парагене-

На одних участках встречаются такие минеральные ассоциации как альбит - хлорит - биотит, кварц - альбит - микроклин - биотит, характерные для фации зеленых сланцев, на других - амфибол - биотит - плагиоклаз - кварц, характерные для амфиболовой фации. Породы амфиболовой фации среди отложений нижней подсвиты пользуются незначительным развитием.

Булунинская свита (Рт_I) представлена кристаллическими известняками, развитыми в нижних р. Талаках. Контакты их с породами нижней половины самокутской свиты текстурно-литологические. В пределах территории листа 0-50-ХХХII булундинская свита залегает согласно на самокутской (Фадкин, 1967 г.).

в структурном отношении образования Судундинской свиты слагают ядро Талаканской синклиналии, простирание которой совпадает с направлением основных структур, сложенных породами нижней половины самокутской свиты.

шаду песячного площацкаго развиція буднинской свиты и
плохой обнаружности, разрез последней нам не составлен.
По левому берегу р. Виты ниже Сивакской Шиверы Г.Б.Дехтеревым (1962г) на территории листа О-50-XXII составлен следующий.

2. Мраморы с прослойками кварц-биотитовых сланцев и амфиболитов

В верхах 3. Квадр-амфиболовые и полевошпат-амфиболовые
стяжки

4. Мраморы
5. Кварц-литосилитовые и шпатоклаз-кварц-биотиты

Одна страница	•
6. Мраморы	•
7. Биотит-кварцевые сланцы с прослойками магнезита	•

кусковит-кварцевых сланцев

В пределах описываемой территории будущая свита сложена кристаллическими известняками. Полосаты и сланцы не встречаются.

и кристаллические известняки представляют собой светло-серые и серые иногда темно-серые мелко-, среднезернистые, редко крупнозернистые породы. Структура их гранобластовая, текстура массивная, реже слоистая. Составят они из изометричных зерен кальцита.

ЧЕТВЕРТИЧНАЯ СИСТЕМА

Четвертичные отложения района подразделяются на среднечетвертичные, верхнечетвертичные, верхнечетвертичные—современные и современные.

Среднечетвертичные отложения (Q_{4T})

Ледниковые талечники, сутлиники, валуники, водно-ледниковые пески с талькой и валуами. Ледниковые отложения полупокровного оледенения встречаются на гребне нижнекамского хребта в верховье р. Усмын. Представлены они бурыми плотными сутлинками с галькой или без нее, редко валунами. Мощность этих отложений колеблется от нескольких сантиметров до 1 м. Талька хорошей окатанности размером от нескольких сантиметров до 0,2 м. Форма их круглая, шибчата, утюгобразная. Представлена галька базальта, ми, лейкократовыми гранитами, гранодиоритами. По аналогии с другими пачками возраст тальковых отложений тот же что и валуниковыми.

Водо-ледниковые гравийно-песчаные отложения развиты на водоразделах рек Ниж.Джилила и Гулита. Мощность этих отложений колеблется от нескольких метров до 15-20 м. Для этих отложений в верховьях р.Гулита установлен следующий разрез (сверху вниз):

правильных обломками (по 7%) и окатанной галькой (по 20%) мелкозернистых гранитов. Размер гальки от 3 до 10 см. • • • • • • • • • • • •

песок с галькой и валунами (до 80 см) хорошей окатанности, редко с некатанными и потокатанными глыбами.

Общая мощность по описанному разрезу 2,9 м.

Из этих отложений была определена пылька кустарниковой береска - 46-74%, кустарниковой сибирской - 30-31%, сосны обикновенной - 3-9,5%, сосны сибирской - 1,5-5,5%, а также споры кочедыжниковых - 13%. Встречены единичные зерна пыльцы ели, пихты, ивы, вересковых, злаков, полин, лебедовых и разнотравья. По заключению М.И.Леушковой (Читинское ГУ), данный спектр характерен для плейстоцена - фазы похолодания.

Условно к среднечетвертичным отложениям отнесены рыхлые аллювиальные отложения, приуроченные к высоким водораздельным поверхностям, а также к высоким террасам р.Калар. Представлены они песками, галечниками, валунами и глинами. Мощность этих отложений колеблется от нескольких сантиметров до 20-80 м.

Рыхлые аллювиальные отложения высоких водораздельных поверхностей были встречены на водоразделах рек Калар и Коннорин (абсолютные отметки 800 м). Эти отложения представлены крупнозернистыми, плохо отсортированными кварц-полевошпатовыми песками.

Аллювиальные отложения IV террасы представлены в основном валунами и редко галечниками.

Разрез аллювия у надпойменной террасы р.Калар в низовьях р.Тогор имеет следующий вид (сверху вниз):

1. Желтовато-бурый суглинок с редкими маломощными прослойками желтовато-серого мелкозернистого песка . . . 0,4 м

2. Серовато-бурый мелко-, среднезернистый песок с единичной хорошо окатанной галькой размером до 1 см . . . 1,4 "

3. Серый, местами желтоватый средне-, крупновернистый песок с хорошо окатанной галькой размером до 2-3 см. Количество гальки около 60% 6,8 "

4. Крупнозернистый до травяного песок с галькой хорошей окатанности 7,0 "

5. Серый с желтоватым оттенком средне-, крупнозернистый песок с редкой галькой и прослойками мелкозернистого тонкого глинистого песка 1,2 "

6. Желтовато-бурый мелко-, среднезернистый глинистый песок с хорошо окатанной галькой размером до 10 см 0,5 "

Общая мощность по разрезу составила 17,3 м.

Среднечетвертичный возраст этих отложений принят на том основании, что гипсометрически они залегают на том же уровне, что и среднечетвертичные водно-глыбиковые отложения верховьев р.Гуллага. Кроме того, в пробах, отобранных из рыхлых отложений

100-метровой террасы р.Калар, определен следующий спорово-пылевой спектр, который, по заключению М.И.Леушковой, характерен для плейстоцена:

I. Пыльца превесины и кустарников (45,4%): *Zarix* sp. 27,5%, *Salix* sp. 3,5%, *Alnus* sp. 1,0%, *Alnaster* 8,0%, *Betula* sp. 30,5%, *Betula sec.* *Nanae* 29,0%, *Pinus silvestris* 0,5%, *Pinus sibirica* - единичные зерна.

2. Пыльца трав и кустарников (42%): *Cyperaceae* 80,1%, *Gramineae* 13,5%, *Rotamodestus* 3,8%, *Artemisia* 2,6%.

3. Споры (12,6%): *Polygonaceae* 71,1%, *Sphagnum* 12,8%, *Selinella sibirica* 5,5%, *S.raginata* 10,8%.

В е р х н е ч е т в е р т и ч н ы е о т л о ж е н и я

Верхние слои (Q^2_{III})

Л е п л и к о в и с е в а л у н и к и, с у п е с и, с у г л и н к и, п е с к и, г а л е ч и н к и, в о д н о - л е д н и к о в ы е п е с к и, о з е р н ы е и л ы, г л и - н ы, с у г л и н к и. Лепниковые отложения второго голинного оледенения представлены боковыми и конечными моренами. Боковые морены сложены валунами со следами эрозии, размером до 2 м и представлены лейкократовыми гранитами, гранодиоритами и габбро. Встречаются они в верховых р.Ниж.Джилинда, выше современного вреза реки. Конечная морена развита в Джилиндинской депрессии. Поворота широкого течения р.Ниж.Джилинда на меридиональное. Представлена морена несортированным валунно-галечным материалом.

Бодно-ледниковые отложения второго голинного оледенения представлены мелко-, среднезернистыми песками, редко суглинками. Развиты они по всей центральной части Джилиндинской депрессии. Эти отложения образуют валы высотой от 3 до 15-20 м и протяженностью до 1 км.

В прибрежных частях Джилиндинской депрессии развиты озерные отложения. Представлены они суглинками, илами, глинами. В районе оз.Амудиса для верхов этих отложений составлен следующий разрез (сверху вниз):

I. Желтовато-бурый суглинок с пятнами и полосами светло-серого цвета 0,50 м
2. Торф с хорошо сохранившимися растительными остатками 0,05 "

3. Желтовато-бурый сутлинон	0,65
4. Пылеватый сутлинон светло-серого цвета	1,10
5. Иловатый сутлинон с прослойкой мощностью до		
см торфа с неразложившимися растительными остат-		

Общая мощность описанных отложений 2.7 м.

Отнесение ледниковых и волно-ледниковых отложений второго
должного оледенения, а также озерных отложений к верхнечетвер-
тичному возрасту основано на данных спорово-пыльцевого анализа.
Пробы из озерных отложений района оз. Амудара имеют следующий спо-
рово-пыльцевой спектр:

2. Пристоует пыльца сосны обыкновенной 12,0-22%, сосны сибирской 11-13%, ольхи 5,0-42,0%, лиственницы 2,5-12,5%, ивы 2,0-2,5%, ели 0,5-5,5% и пихты - единичные зерна.

9-56% в грунте трав и кустарниковых преобладает пыльца осок и вересковых 2-11,5%, единично присутствует пыльца сложноцветных, лебедовых и разнотравья.

разнотравья 12-20%, а также встречаются единичные споры *Lycopodium clavatum*, *Selaginella raginata* Knox., *Selaginella sibirica*.

Аналогичный спектр обнаружен в пробах, взятых из волн-ледниковых стложений широтного течения Р.Н.Желлинга.

шюлья и верхнечевреличным отложениям отнесены ледниковые отложения, развитые в верховьях рек Усун, Бутумна и Тостур. Представлены они конечной мореной, развитой в устьевой части кара. Сложена морена неокартированным материалом, состоящим из бурового суглинка (40%), полимиктового разнозернистого песка (20%) и гравием со щебнем (20%). Глыбы размером до 1 м почти неокатаны. Представлены они мигматитами и лейкократовыми среднезернистыми гранитами. По-видимому, каровое оледенение является завершающим этапом второго долинного оледенения.

Отложения нерасщепленные

АЛЛОВИАЛЬНЫЕ ТАЛЕЧНИКИ, ПЕСКИ,
СУПЕСИ, СУТЛИНКИ, ГЛИНИ. Развиты в бассейне
рек Витим, Калар и Октоокт. К образованию этого возраста отнес-

сены рыхлые отложения, слагающие II, III и IV террасы вышеречисленных рек. Мощность их определяется в пределах 10—40 м. Для рыхлых отложений II надпойменной террасы р. Витим составлен следующий разрез (сверху вниз):

Песок	1,7 м
2. Средне-, крупнозернистый кварц-полевошпатовый песок с галькой по 5-10 см (15-30%)	1,55 "

З. Галечник с гравийным песком
Мощность рыхлых отложений по разрезу - 3,65 м.

Отнесение вышеописанных аллювиальных отложений к верхнечетвертичным основано на том, что они залегают гипсометрически ниже среднечетвертичных отложений и перекрываются современными.

**Верхнечетвертичные - современные
отложения (Alt-IV)**

Пески, талачники, супеси, глины, лучно-галечные отложения. Представлены они проливальными, колывальными, делювальными и аллювальными генетическими типами. Последние слагают рыхлые отложения I надпойменной террасы и представлены галечниками и валунами в нижних частях разрезов (рустовая Фация) и песчано-глинистым материалом в средней и верхней частях (пойменная Фация). Указанные отложения развиты в центральных частях Кмыдинской депрессии, а также в долинах рек Талакан, Гулита и Долуга. Проливальные, колывальные и делювальные отложения развиты в прибрежных частях Кмыдинской депрессии, где слагают предгорные шлейфы. Сложенны они плохо окатанным глыбовым материалом, перемешанным с супесью и сутлинком. Мощность этих отложений колеблется в пределах 80–100 м. Данные отложения своими нижними горизонтами за-мешают верхнечетвертичные отложения, а верхними – перекрывают их.

Современные отложения (Q_V)

Т а л е ч и к и, п е с к и, с у г л и н к и, т л и н,
с у п е с и. Современные отложения развиты повсеместно и пред-

ставлены следующими генетическими типами: зловивальными, дельвиальными, проливальными и аллювиальными. Среди последних выделяются пойменные и русловые. Часто наблюдаются смешанные отложения: дельвиально-зловивальные, зловивально-делювиальные, делювиально-проливальные и др.

Эллюзионные отложения развиты на выровненных участках водоразделов и хребтов. Представлен эловий глыбами, щебенкой и пресвой. Мощность эловия невыдержанная и варьирует от нескольких сантиметров до 2 м.

Деллюзионные отложения развиты на склонах водоразделов. Представлены они щебнем, песком, суглинком. Мощность их колеблется от первых десятков сантиметров до 10 м.

Пролювиальные отложения представлены конусами выноса, развитыми в устьевых частях распадков. Сложены они грубообломочным, плохо окатанным материалом, перемешанным с супесью и суглинком. Мощность их колеблется от одного до нескольких метров. Наибольшей мощности они достигают по окраинам Делиндинской депрессии.

Аллюзионные отложения широко развиты в долинах рек. Представлены они галечником, гравием, песками различной крупности, глинями, супесями и суглинками. Мощность отложений колеблется в пределах 1–5 м.

ИНТРУЗИВНЫЕ ОБРАЗОВАНИЯ

В пределах исследованной территории интрузивные образования распространены очень широко и выходы их отмечаются на большой части площади. В последовательности формирования они разделены на архейские, раннепротерозойские, позднепротерозойские, раннепалеозойские и раннемезозойские образования.

Архейские интрузивные и ультрамарфические образования

Эти образования по структурному соотношению с вмещающими породами архей разделены на доэротенные амфиболиты, синэротенные транзит-нейсы и позднеэротенные гнейсово-вилевые типерстеновые граниты, гранодиориты и граниты.

Амфиболиты (аш А) развиты в восточной части территории и приурочены к выходам охокитской свиты архейского возраста. Они слагают протяженные (до 7–9 км) согласные пластообразные непостоянной мощности (от нескольких метров до 500 м), обра- зующие с вмещающими породами единую структуру. Внутреннее строение тел характеризуется грубополосатым, нередко беспорядочным чередованием прослоев и линзовидных широких гнейсовых и мас- сивных разностей амфиболитов пятнистой и однотонной зеленой и темно-зелено-серой окраски. Породы обладают кристаллообластической структурой с реликтиами первичной призматической зернистости. Состо- ят они из плагиоклаза (андезина № 35–40) от 15 до 35%, биотита–диоксида и моноклинного пироксена (диопсида) до 5–7%, замещаемого зеленою роговой обманкой. Количество последней достигает 50–55%. Аксессорные минералы представлены сбеном и рудным минералом. По химическому составу амфиболиты относятся к меланократовым, бел- нем шелочным, ненасыщенным SiO_2 породам нормального ряда и приближаются к безоловиновому гориту по Р.Дэли (см. табл. 2-ан.1).

Соотношения амфиболитов с архейскими стратифицированными образованиями позволяют связывать их формирование с дорогочным этапом архейской складчатости.

Граниты – ти-гисы ($\gamma_1\text{A}$) установлены на лево-

береге р.Джеты и юго-западнее р.Баладзек. Площади выходов их не превышают 4–6 км². Гранито-нейсы образуют согласные непра- вильные пластообразные тела, а также мелкие послойные и секущие инъекции в кристаллических сланцах и гнейсах устьдышинской и ви- тимской свит, реже – небольшие ксенолиты в раннепротерозойских гранитоидах. Ориентировка тел гранито-нейсов согласна с про- стиранием вмещающих пород.

Контакты тел гранито-нейсов извилистые, обычно резкие, ре- же расплывчатые. Нередко гранито-нейсы вместе с вмещающими по- родами смыты в мелкие складки. При этом наблюдающееся во внут- ренем строении тел гранито-нейсов полосчатое чередование раз- ностей различного облика совпадает с полосчатостью вмещающих пород. В кососекущих инъекциях ориентировка текстурных элемен- тов параллельна контакту и не согласуется с кристаллизационной сланцеватостью кристаллических сланцев. Наиболее крупные тела гранито-нейсов окружены неширокой зоной митматизированных по- род.

Гранито-нейсы – светло-серые и голубовато-серые в основном мелко- и среднезернистые породы с отчетливой ориентированной текстурой, поддержанной линейным расположением удлиненных зерен

кварца с характерной голубоватой окраской. Структура пород про-
токластическая и бластогранитовая. Состав гранито-нейсовых (в %):

кварц 25-30, плагиоклаз (альбит-олигоклаз и кислый олигоклаз)

30-45, нерешетчатый перититовый калиевый полевой шпат 25-30,
бюцит 1-4, акцессорные минералы: апатит, орбит, пирокон и рул-

ний минерал. Вторичные минералы: серидит и хлорит.

Формирование гранито-нейсовых проходило в условиях уль-тра-
метаморфизма путем селективного плавления пород на месте. Пере-
мешение мобильного материала привело к образованию секущих
инъекций. Теневая связь гранито-нейсовых с архейскими метаморфи-
ческими образованиями, согласная с ними пластинообразная форма
тел, а также совместное участие их в складчатости свидетельствуют
о синорогенном характере гранито-нейсовых и их архейском возра-
сте.

Т *н* *е* *й* *с* *о* *в* *и* *д* *и* *н* *е* *г* *и* *п* *е* *р* *с* *т* *е* *н* *о* *в* *и* *е*
и *т* *р* *а* *н* *и* *т* *и* ($\gamma_2 A$) об разует разобщенные массивы и несоль-
шие тела, форма которых только в общих чертах согласуется с на-
правлением основных архейских складчатых структур.

Нейсовые гиперстеновые граносиениты и гранодиориты уста-
новлены на водоразделе рек Таксима и Талакан, где слагают Такси-
мский массив, площадь которого составляет около 100 км². Ней-
совидные граниты слагают Гуллинский массив в верховых р.Гуллага,
занимший площадь около 30 км², а также об разует ряд мелких
тел в верховых р.Тостур. Таксиминский массив имеет неправиль-
ную форму, несколько вытянутую в северо-восточном направлении.
С севера и юго-запада он ограничен крупными тектоническими на-
рушениями. Гуллинский массив более изометричен в плане, слабо
вытянут в северо-восточном направлении и с юго-востока имеет
тектонический контакт с вмещающими породами архея. Морфология
мелких тел нейсовых гранитов в верховых р.Тостур сложная,
неправильная, линзовидно-шлакобразная. Контакты массивов и
мелких тел с вмещающими породами архея извилисты, обычно несо-
гласные. Они чаще всего имеют расщепляющий и только иногда до-
вольно четкий характер. Внутреннее строение обеих этих массивов
сложное и неоднородное.

Гиперстеновые граносиениты и гранодиориты Таксиминского
массива, а также гнейсовые граниты Гуллинского массива и мел-
ких тел характеризуются непостоянным соотношением минерального
состава, в результате чего в строении тел наблюдается полосча-
тое и полосчато- беспорядочное чередование пород различного обли-

ка. Характерной особенностью массивов является наличие в них

многочисленных раковин в земляных породах архея в виде теней,

расщипчатых складчатоподобных образований, реже - угловатых

с резкими гранями ксенолитов. Шлохо-параллельные текстуры

граносиенитов, гранодиоритов и гранитов почти всегда сопутствуют

с кристаллизационной сплющеватостью вмещающих пород. Лишь иног-

да в угловатых ксенолитах пород архея наблюдаются секущие про-

жилки с несоплатением структурных элементов. Переход от вмещаю-
щих пород архея к граносиениту, гранодиориту и граниту постепен-

ный. Так, например, при переходе от кристаллических сланцев и

нейсовых витимской свиты к граносиентам в Таксиминском массиве

размерность зерен породообразующих минералов увеличивается, по-

роль становится грубогнейсовидными и местами почти массивными,

заметно увеличивается содержание калиевого полевого шата и ам-

фбола, появляется пироксен. При этом темноцветные минералы

приобретают четкие кристаллографические очертания.

Нейсовые гиперстеновые граносиениты и гранодиориты -

среднеэзернистые породы с характерной желтовато- и буровато-серой

окраской и прерывисто-линовидным распределением темноцветных ми-

нералов. Структура их алитотриоморфозернистая и бластокатакла-

стическая. Наиболее распространенный состав граносиентов (в %):

кварц 10-12, плагиоклаз (олигоклаз № 26 - андезин № 37, редко

№ 46) 30-35, нерешетчатый калиевый полевой шпат и калишпат-пер-

ит 35-40, диопсид, гиперстен, роговая обманка, бюцит 10-18% и

акцессорные минералы: апатит, пирокон, рутил минерал, сфен. В

центральной части Таксиминского массива наблюдаются отклонения

от приведенного состава граносиенитов и гранодиоритов с повышен-

ной цепочностью. Это лёгкокатавные разности с содержанием кварца

до 20-25%, с более высоким соотношением плагиоклаза и калиевого

полевого шата и с более кислым составом плагиоклаза. В юго-за-

падном эндоконтакте Таксиминского массива наблюдаются отклонения

в сторону мелакократовых разностей гранодиоритов. Переходы ме-

жу отмеченными разновидностями очень постепенны и слабоуловимы.

Для всех разновидностей гиперстеновых граносиенитов и гра-

нодиоритов характерен интенсивно проявленный калиево-кремнистый

метасоматоз, приводящий к росту крупных самостоятельных зерен

калиевого полевого шата и кварца. Кроме того, гиперстен часто

замещается диопсидом, а последний, в свою очередь, роговой об-
манкой и сиотитом. Бюцит разрывается по роговой обманке и не-
редко замещается мусковитом, гипрослюдами и хлоритом.

По химическому составу гиперстеновые граносиениты являются лейкократовыми породами нормального ряда, насыщенными SiO_2 и умеренно богатыми цеолитами, и приближаются к среднему типу лейкоzemельного сленита по Р.Дэли (см.табл.2, ан.2). Более меланократичные, пересыщенные SiO_2 гиперстеновые гранодиориты отвечают среднему составу гранодиорита, отличаюсь повышенным содержанием щелочей (см.табл.2, ан.3).

Гнейсовидные граниты – средне-крупнозернистые серые плотные породы с ориентированной текстурой. Для них характерен мутно-серый полевой шпат и овальные или вытянутые зерна тигрового-серого кварца. Структура их пластинчато-ластическая с участками транобластовой и гранитовой. Состав гнейсовидных гранитов из кварца 20–30%, плагиоклаза (олигоклаз № 24) до 35%, нередко чистого калиевого полевого шпата и калишпат-пертита до 30–35%, биотита до 7%, акцессорных минералов: апатита, циркона, рудного минерала, сфена. Нередко наблюдается широкое развитие антипертитов. В разностях насыщенных скапилитами основных сланцев содержание кварца не превышает 10–15%.

Такие граниты по химическому составу являются породами нормального ряда, слабо пересыщенным SiO_2 и богатыми щелочами, приближающимися к нормандриту, по Р.Дэли (см.табл.2, ан.4,5).

Приуроченность гиперстеновых граносиенитов, гранодиоритов и гнейсовидных гранитов Таксиминского и Гуллинского массивов к условиям развития архейских осадочно-метаморфических образований, тесная связь их с последними при однотности внутреннего строения массивов указывает на единство происхождения этих пород. Описанные породы образовались на месте в результате реоморфизма при ведущей роли метасоматической гранитизации и чарнокитизации архейских кристаллических пород. Об этом свидетельствуют постепенные переходы между вмешанными породами и гнейсовидными гипертекстонами, гранодиоритами и гнейсовидными гипертекстонами, теневые скапилитоподобные включения и создание структурных элементов в них, а также широко проявленный калиево-кремнистый метасоматоз. Типичная чарнокитовая минеральная ассоциация (перлитовый калиевый полевой шпат, олигоклаз, андезин, гиперстен и дюптил), характерная для пород Таксиминского массива, могла возникнуть только в условиях гранулитовой фации метаморфизма при калиево-кремнистом метасоматозе по гиперстенодержащим породам архея. В образовании гнейсовидных гранитов Гуллинского массива процессы метасоматической гранитизации прошли гораздо интенсивнее до почти полного выноса магнезиально-железистых комп-

понентов. Наличие в Таксиминском массиве типичных ксенократов вмешанных пород с резкими контактами указывает на то, что частично граносиениты и гранодиориты образовались в результате выщелачивания и перемещения мобильного материала. Разнообразие и изменчивость состава описанных гнейсовидных гиперстеновых граносиенитов и гранодиоритов и гнейсовидных гранитов обусловлены, по-видимому, как иодородностью состава пород, по которым они возникли, так и различной интенсивностью процессов метасоматических преобразований.

Время формирования чарнокитов и гнейсовидных гранитов, вероятно, связано с позднеорогенным этапом архейской складчатости, сопровождавшимся региональным метаморфизмом в транулитовой фазе.

Р А Н Н Е П Р О Т Е Р О З О Й С К И Е И Н Т Р У З И В Н Е И У Л Ь Т Р А М Е Т А М О Р Ф И Ч Е С К И Е О Б Р А З О ВАНИЯ

Становой комплекс

Среди раннепротерозойских интрузивных и ультраметаморфических образований станового комплекса выделены соответственно интрузивные образования – таббро- и табро-амфиболиты и гранитоиды интрузивного и ультраметаморфического происхождения. В формовании гранитоидов выделяется три этапа. В первый этап образовались гнейсовидные биотитовые граниты и гнейсо-граниты, гранодиориты, граносиениты и сиенито-диориты, во второй – массивные и гнейсовидные олиготитовые и лейкократовые граниты, граносиениты, в третий – лейкократовые граниты.

Г а 6 б р о и т а б б о - а м ф и о л и ты (AFT, f) слагают мелкие тела и пластообразные залежи в породах архея, а также ксенолиты в раннепротерозойских гранитоидах. Вокруг их отмечены в левом борту р.Октохит, в приусадебной части р.Бугарихта, в районе устья р.Джегу, в верховых р.Бугарихта и в других местах. Площади выходов таббро и табро-амфиболитов не превышают 1–1,5 км². В магнитном поле наиболее крупное тело габброидов в левом борту р.Октохит называет четкую аномалию интенсивностью до 1250 гаам. Контакты табброритов с породами архея всегда четкие прямые или сладо волнистые, косо- и крутоsekущие полосчатость вмешанных пород. В узкой приконтактовой полосе (до 30 м) кристаллические сланцы и гнейсы архейского возраста заме-

но обогащены роговой обманкой. Ксенолиты габброидов имеют не- правильную слабо вытянутую форму и извилистые контакты. Краевые части ксенолитов, как правило, гранитизированы.

Габро и габро-амфиболиты — породы зеленой и темно-зеленой окраски, массивной текстуры, средне- и крупнозернистого сложения. Слабо полосчатые и более мелкозернистые разности отмечаются в ксенолитах. Характерной особенностью пород является повсеместно и неравномерно проявленная амфиболизация, в результате чего габро с габро-амфиболитами связана постепенными переходами. Почти всегда габроиды параллелизированы.

Габро обладают габро-официтовой структурой с элементами пойкилитовой и состоят из пластиоклаза (андезина № 40 или лабрадора № 50) — 20–35%, моноклинного пироксена (диопсида) — 25–30%, зеленой роговой обманки до 30%, биотита до 10%. Аксессорные минералы представлены сфеном, рудным минералом, апатитом и ортитом. По диопсиду развивается зеленая роговая обманка, последняя заменяется биотитом. В наименее измененных разностях присутствует оливин до 10%. Вторичные изменения проявлены в серпентизации и карбонатизации пластиоклаза и хлоритизации биотита. По химическому составу габро являются меланократовыми породами нормального ряда, ненасыщенными SiO_2 и бедными цеолитами, и при сравнении со средними составами пород по Р.Дэли приближаются к горнолениту (см.табл.2, ан.6).

Габро-амфиболиты отличаются от описанных габро очень изменчивым соотношением минерального состава, гранобластовой, гетеробластовой структурой, среднезернистым сложением и преобладанием в меланократовой части пород обыкновенной роговой обманки с осветленными реакционными каемками. Пластиоклаз представлен сильно измененным андезином № 33, реже основным олиоклазом. Нередко в породах наблюдается обильное развитие карбонатов и повышенное содержание ружного минерала (до 7%), а также кустистые агрегаты биотита по роговой обманке. По данным химических анализов (см.табл.2, ан.7), габро-амфиболиты являются породами нормального ряда, ненасыщенными SiO_2 , голомеланократовыми. Отличаются они от химического состава горноленита по Р.Дэли высоким содержанием окиси магния.

Раннепротерозойский возраст описанных габро- и габро-амфиболитов определяется тем, что они прорывают тектоники и кристаллические сланцы архейского возраста и находятся в виде ксенолитов в раннепротерозойских гранитоидах.

Гнейсовидные биотитовые граниты, граниты-гнейсы — т.н. гнейсо-биотитовые граниты (GnBt_1, t), гранито-гнейсы (GnPt_1, t) и гнейсо-кварциты (GnQt_1, t), гранито-кварциты (GnQt_1, q) первого этапа широко развиты в пределах Нижнекамского батолита, где они, локализуются в основном в эндоконтактах, слагают краевую структурную фацию, реже ксенолиты в гранитах второго и третьего этапов. Кроме того, они образуют ряд небольших массивов и пластообразных залежей в гнейсах и кристаллических сланцах витимской свиты в верховых р.Октох и у северной границы территории листа. Между гнейсовидными гранитами и гранито-диоритами, а также между гранодиоритами и граносиенитами всегда наблюдаются постепенные переходы. Взаимоотношения гранитоидов первого этапа со стратифицированными образованиями архея характеризуются постепенными переходами, реже нигритовыми контактами. Редкие контакты наблюдались на левобережье р.Усун и в бассейне р.Черемя, где граносиениты и гнейсовидные граниты содержат ксенолиты кристаллических сланцев усть-ильинской и витимской свит. Между вмещающими породами архея и гранитоидами первого этапа также устанавливаются постепенные переходы. При этом переход от гнейсовых гранитов к гнейсо-гранитам во вмещающие породы распространяется благодаря наличию зон теневых и артериоподобных магматов и скапилитоподобных включений. Переход между метаморфическими породами и порфиробластовыми гранодиоритами и граносиенитами осуществляется через порфиробластовые кристаллические сланцы. При этом линейные текстуры гранитоидов повторяют структурные элементы вмещающих пород.

Гнейсовые биотитовые граниты и гнейсо-граниты — светло-серые с желтоватым или розоватым оттенком средне-, средне-крупнозернистые породы с четко выраженной ориентированной текстурой. Средне- крупнозернистые разности гнейсовых гранитов содержат нередко порфиробласты размером до 0,5–1 см розового полевого шпата, вытянутые по гнейсовой мощности. Структура гранитов бластогранитовая, вытянутые по гнейсовой мощности. Состав их неизвестный (в %): кварц 20–30, пластиоклаз (олигоклаз № 20–22) 30–45, непрерывный кальевый полевой шпат и сладо решетчатый микроклин 30–45, биотит 3–5, акцессорные минералы: сфеен, апатит, рутил, циркон и рудный минерал. Калиевый метасоматоз проявлен широко и часто приводит к почти полному замещению пластиоклаза калиевым полевым шпатом. Вторичные процессы проявлены в серпентизации и мусковитизации пластиоклаза, пелитизации калиевого полевого шпата и хлоритизации биотита.

По химическому составу гнейсовые граниты и гнейсо-граниты являются породами нормального ряда, пересиленными SiO_2 и богатыми шелочами. Гнейсовые граниты приближаются к щелочному граниту, по Р.Дали (см.табл.2, ан.8), гнейсо-граниты — к щелочному гнейсальному граниту (ан.9). Умеренно богатые шелочами разности гнейсовых гранитов отвечают локоморийскому граниту Швеции (ан.10).

Гранодиориты — серые, среднезернистые, гнейсовые, редко массивные породы с гипидиоморфозернистой, гранобластовой и не-редко порфиробластовой структурой. Состав (в %): кварц 12-20, плагиоклас (средний олигоклаз) 35-40, калишпат-перлит 30-35, биотит 8-10, роговая обманка до 5, акцессорные минералы: апатит, сфен, рудный минерал. Вторичные процессы проявлены в сериализации плагиоклаза и незначительной палигизации кальевого полевого шпата.

Граносиениты — зеленовато-серые и розовато-линистые равно-мерносреднезернистые и крупнозернистые породы гнейсивидного, редко массивного облика. Структура их гипидиоморфозернистая и порфиробластовая. Минеральный состав (в %): кварц 8-12, плагиоклас (олигоклаз № 23, редко кислый андезин) 30-40, перешелчаний кальевого полевого шпата и калишпат-перлит 32-45, лиослюд 5, роговая обманка 10-12, биотит 3-5, акцессорные минералы: сфен (иогта до 2%), апатит, циркон, рудный минерал. Повсеместно наблюдается замещение плагиоклаза калиевым полевым шпатом. Роговая обманка замещается уралитом и биотитом, иогта содержит в виде включений рудный минерал и апатит.

По химическому составу граносиениты — лейкократовые породы нормального ряда, насыщенные, редко слегка недосыщенные SiO_2 , богатые шелочами, и приближаются к среднему типу щелочного сиенита (см.табл.2, ан.11,12,13), а слегка пересиленные SiO_2 — к среднему типу щелочноземельного сиенита (ан.14).

Сиенит-диориты эндоконтактов внешне мало отличаются от описанных граносиенитов, обладают монцитовой структурой и характеризуются несколько иным соотношением минерального состава (в %): кварц 0-3, плагиоклас (андезин) 45-50, перешелчаний кальевого полевого шпата 25-30, биотит 5-8, роговая обманка 8-10. Характерны крупные ромбические кристаллы сфена. По петрологическим характеристикам сиенит-диориты являются лейкократовыми породами нормального ряда, слегка недосыщенные SiO_2 и богатыми шелочами, и при сравнении со средними составами пород по Р.Дали приближаются к монцонитам (табл.2, ан.15,16,17).

Массиевые и гнейсовые лейкократовые и биотитовые граниты ($\text{R}_2\text{Pt}_1\text{t}$) и граносиениты ($\text{R}_2\text{Pt}_1\text{t}$) имеют преобладающее развитие среди гранитолов второго этапа и скапают центральную и юго-западную части Нижнекаларского батолита. Кадакачанский массив и ряд мелких штоков. Граносиениты отмечены в Кадакачанском массиве и юго-восточной части Нижнекаларского батолита. Форма тел гранитов второго этапа, в отличие от гранитолов первого этапа, изометрична в плане, контакты их с породами архея четко разуме, редко постепенные. Для эзаконтактов характерна фелицитизация и микматизация пород архея, развивающаяся в сравнительно широкой полосе (от 300 м до 1,5-2 км).

Граниты второго этапа характеризуются изменчивостью петрохимического состава и структурно-текстурных особенностей. Это преимущественно массивные средне-крупнозернистые и крупнозернистые породы желтовато- и розовато-серого цвета с четкой, реже слабо выраженной порфироидной и порфиробластовой структурой.

Порфироидные выделения и порфиробласти размером от 0,5 до 1,5 см составляют иногда до 40% породы. Структура основной массы гранитовая. Гнейсовые разности гранитов встречаются лишь на отдельных участках эндоконтактов, где, кроме того, граниты имеют более мелкозернистое сложение со слабо выраженной порфироидностью и содержат иогита до 10%. Состав (в %) граниты из кварца — 25-35, плагиоклаза (альбит-олигоклаза и олигоклаза № 20-25) — 20-25, перешелчаний кальевого полевого шпата и микроклин — 40-45, биотита — обычно 5, в биотитовых разностях до 10, акцессорных минералов: сфена, циркона, апатита, рудного минерала. В результате интенсивного замещения калиевым полевым шпатом зерна плагиоклаза заключены часто в последнем и имеют неправильную форму. В разностях насыщенных скапилатами кристаллических скапилев содержание (в %) кварца не превышает — 10, плагиоклаза — 40, кальевого полевого шпата — 40-45, биотита — 5-10. По химическому составу граниты второго этапа относятся к лейкократовым породам нормального ряда и пересиленным SiO_2 . Отвечают они щелочному граниту по Р.Дали (см.табл.2, ан.19), отклоняясь к лейкократовому сиениту (ан.18,20,21,22,23,24).

Граносиениты — серые и зеленовато-серые среднезернистые породы массивного и гнейсивидного облика с гипидиоморфозернистой и гранобластовой структурой. Состав граносиенитов (в %): кварц 10-20, плагиоклас (олигоклаз № 22-25) 30, калишпат-перлит 36-40, биотит 5-10, роговая обманка 5-8, акцессорные минералы: сфен, циркон и рудный минерал. По химическому составу граносиен-

Химический состав

Интузивных пород

Архейские интрузивные и ультра-
метакордитовые образования

Компоненты

Компоненты	Архейские интрузивные и ультра- метакордитовые образования							Раннепротерозойские									
	амA	1 ϵ_2 A	2 ϵ_2 A	1 ϵ_2 A	1 ϵ_2 A	vPt _{1,t}	vPt _{1,t}	1 ϵ_1 Pt _{1,t}									
амA	1	2	3	4	5	6	7	8	9	10	11	12	13	14	15	16	17
S1O ₂	43,80	59,58	65,04	63,30	65,74	43,25	45,96	72,00	70,05	71,92	60,38	59,72	69,66	61,12	59,42	56,50	57,38
TlO ₂	2,30	0,78	0,60	0,45	0,65	1,30	0,58	0,15	0,15	0,24	0,83	0,70	0,85	0,45	0,70	0,95	0,70
Al ₂ O ₃	15,17	16,10	13,80	17,80	17,04	11,74	8,50	13,52	15,1	14,67	15,28	16,49	15,95	16,49	16,47	19,44	
Fe ₂ O ₃	3,92	1,26	1,42	1,64	1,64	5,91	4,56	0,30	1,02	0,84	2,17	2,24	1,60	1,38	2,25	1,64	2,36
FeO	8,00	4,45	4,02	2,16	2,59	10,20	7,90	1,93	1,26	1,29	3,30	2,80	2,94	3,37	4,88	2,80	
MnO	0,08	0,06	0,04	0,06	0,14	0,15	0,03		0,03	0,03	0,08	0,05	0,05	0,05	0,09	0,06	
MgO	9,50	2,63	1,81	1,27	1,03	12,26	21,73	0,51	0,04	0,02	0,03	0,03	0,03	0,03	0,05	1,79	
CaO	10,06	5,75	4,92	3,33	2,49	9,58	5,10	1,20	0,52	0,45	2,81	2,93	2,03	5,02	2,65	2,71	
Na ₂ O	2,05	4,10	3,60	5,00	4,20	1,80	1,50	4,00	1,22	1,86	4,10	3,68	4,38	4,47	3,68	5,59	3,66
K ₂ O	2,80	3,80	3,50	3,84	4,28	1,72	2,00	5,40	4,98	4,53	4,90	5,60	6,10	3,70	5,30	5,00	
P ₂ O ₅	0,09	0,28	0,18	0,11	0,09	0,08	0,10	0,11	4,62	3,62	5,15	5,30	5,00	3,60	5,60	4,40	5,70
П.п.п.	1,78	0,94	1,13	0,76	0,46	1,75	2,11	0,31	0,03	0,09	0,51	0,48	0,50	0,25	0,50	0,20	0,20
Сумма	99,55	99,73	100,07	99,70	100,27	99,73	100,2	99,46	99,42	99,65	99,84	100,27	99,63	99,95	100,21	99,8	99,39

Числовые характеристики

по А.Н. Заваринкову

a	8,6	14,5	12,8	16,8	15,4	6,1	5,4	16,1	17,4	14,9	17,8	19,4	20,2	13,1	19,3	17,5	19,9
c	5,9	3,5	2,7	3,7	3,0	4,4	2,3	0,7	1,2	2,1	1,1	1,0	0,7	4,0	1,2	2,3	3,4
b	33,5	13,4	11,2	6,1	6,8	41,7	45,7	3,6	3,0	2,7	13,2	12,7	12,0	14,2	12,7	15,2	9,1
s	52,0	68,6	73,3	73,4	74,8	47,8	46,6	79,6	78,4	80,3	67,9	66,9	67,1	68,7	66,8	65,0	67,6
a'	-	-	-	-	16,8	-	-	-	-	-	-	-	-	-	-	-	-
f'	32,7	40,0	45,0	58,0	57,5	34,0	22,2	57,4	-	-	-	-	-	-	-	-	-
m'	48,3	33,8	27,0	35,2	25,7	47,4	70,9	22,2	66,6	70,8	36,9	35,3	34,0	31,1	40,0	40,4	53,1
n'	19,0	26,2	28,0	6,8	-	18,6	6,9	20,4	26,7	26,8	34,9	38,4	28,3	59,0	34,8	30,0	34,6
p'	52,4	64,1	61,0	66,6	60,0	61,7	53,3	53,3	6,7	2,4	28,2	26,3	37,7	9,9	25,2	29,6	12,3
q'	9,8	7,7	10,8	23,8	20,8	11,5	7,4	7,4	62,1	65,9	59,2	61,6	64,9	61,2	59,0	63,3	57,0
t'	3,8	1,0	0,7	0,5	0,8	2,1	1,0	0,2	26,6	26,8	13,6	14,7	11,1	8,5	14,7	9,4	22,3
q'	19,1	4,7	18,3	9,5	15,8	21,0	19,9	26,3	20,8	28,7	0,9	6,0	6,9	7,2	6,2	7,3	8,0
g'	1,4	4,1	4,7	4,5	5,1	1,4	2,3	23	14,5	7,1	16,2	19,4	28,8	3,3	16,0	7,6	5,8

Продолжение табл. 2

Компоненты	Раннепротерозойские интрузивные и ультраметаморфические																				
	$\tau_2^{Pt_{1,t}}$					$\tau_2^{Pt_{1,t}}$															
I192	2281	2306	I469	I526	I865	780	I868	2036	2041	28	29	30	31	32	33	34	35	36	37	38	
S102	68,24	70,92	67,94	64,32	67,80	68,68	65,10	51,70	72,97	70,42	71,58	71,07	72,32	69,16	47,63	72,90	70,84	74,40	73,85	68,44	50,96
TiO ₂	0,58	0,35	0,42	0,52	0,30	0,40	0,67	0,87	0,13	0,35	0,20	0,23	0,21	0,35	0,97	-	0,16	0,10	0,05	0,48	1,35
Al ₂ O ₃	15,02	14,40	15,08	16,63	15,08	15,50	16,05	20,00	14,10	14,65	14,22	13,91	13,30	14,65	16,08	14,42	14,62	13,10	14,19	14,20	16,19
Fe ₂ O ₃	1,37	0,96	1,62	1,40	1,39	0,15	1,86	4,62	0,57	1,34	0,79	1,05	0,64	0,94	4,22	0,18	1,53	0,38	0,22	1,05	3,07
FeO	1,87	1,50	2,04	1,43	2,73	2,12	4,81	1,29	1,51	1,65	1,83	1,83	1,87	6,43	1,15	1,94	1,35	0,89	2,58	4,95	
MnO	0,06	0,03	0,04	0,03	0,06	0,06	0,07	0,05	0,04	0,04	0,03	0,04	0,04	0,07	0,04	0,06	0,02	0,03	0,02	0,08	
MgO	0,75	0,50	0,71	0,95	0,43	0,68	1,27	3,26	0,44	0,84	0,84	0,96	0,35	1,00	6,45	0,34	0,83	0,37	0,30	1,45	3,17
CaO	1,58	1,41	1,58	2,27	1,42	1,66	2,60	6,76	0,91	1,55	1,33	1,41	1,15	1,61	12,31	1,69	1,64	0,88	1,40	2,90	6,14
Na ₂ O	5,00	4,03	4,55	5,00	6,30	5,00	4,75	4,70	4,13	4,40	4,20	4,20	3,98	4,20	2,65	6,45	5,00	4,55	5,05	4,00	4,70
K ₂ O	5,00	4,95	5,50	5,80	5,90	4,52	4,22	2,48	5,82	5,00	5,00	4,88	5,88	1,32	2,90	3,80	4,55	4,15	4,60	3,48	
P ₂ O ₅	0,20	0,12	0,23	0,24	0,12	0,06	0,17	0,20	0,06	0,08	0,03	0,05	0,20	0,11	0,19	0,02	0,06	0,09	0,02	0,10	1,44
П.п.п. -	0,40	0,30	0,25	-	0,22	0,74	0,38	0,11	0,20	0,07	0,78	0,26	0,82	0,30	0,03	0,18	0,22	0,24	3,68		
Сумма	99,67	99,57	99,46	99,46	100,20	99,66	99,61	99,85	100,58	100,38	100,07	99,82	99,71	100,07	99,13	100,37	100,48	99,90	100,36	100,07	99,21
Числовые характеристики по А.Н. Земанчикову																					
a	17,8	15,8	17,7	19,4	19,7	17,3	16,6	14,6	16,8	16,4	16,0	16,0	15,5	17,3	7,9	17,6	15,0	15,9	16,4	15,1	16,3
c	0,9	1,5	1,1	1,4	2,3	1,5	2,4	6,7	0,7	1,3	1,2	1,0	0,9	0,9	7,0	0,4	1,4	0,3	0,9	1,7	3,2
b	5,3	3,2	4,7	6,0	2,7	4,3	6,4	16,6	2,8	4,4	3,9	4,7	3,3	5,2	29,2	3,2	4,9	2,9	2,2	7,4	18,0
s	76,0	79,5	76,5	73,2	75,3	76,9	74,6	62,1	79,7	77,9	78,9	78,3	80,3	76,6	55,9	78,8	77,7	80,9	80,5	75,8	62,5
a'	-	-	-	-	-	-	-	-	-	-	-	-	-	-	-	-	-	-	-	-	
f'	55,7	70,2	58,6	51,6	10,0	63,1	56,4	54,0	59,6	66,7	55,0	52,8	68,0	48,1	33,8	36,0	62,2	54,5	42,4	43,8	43,2
m'	24,0	25,5	24,3	25,9	27,5	26,1	33,0	34,8	26,2	31,3	35,0	33,3	18,0	31,6	38,1	16,0	28,4	20,5	21,2	32,1	31,2
c'	20,3	4,3	I7,1	22,5	62,5	10,8	I0,6	II,2	14,2	I2,0	I0,0	13,9	14,0	20,3	28,1	48,0	9,4	25,0	36,4	24,1	25,6
n	60,4	55,5	56,0	56,6	57,4	62,8	63,3	74,1	51,7	67,2	56,2	56,2	55,3	51,9	75,4	77,0	66,9	60,2	64,7	57,0	67,2
q	21,5	25,5	28,5	20,2	0	I,1	24,5	25,0	16,6	25,4	16,7	17,9	16,0	15,2	12,4	4,0	25,6	13,6	6,1	II,6	15,2
t	0,7	0,4	0,5	0,4	0,4	0,8	I,2	0,1	0,4	0,2	0,1	0,2	0,1	0,4	I,5	0	0,2	0,1	0,1	0,5	2,0
g	15,5	25,9	16,5	6,2	8,9	I7,7	I3,6	II,7	25,1	21,7	24,6	23,6	28,7	I7,7	II,0	22,0	22,0	29,7	19,7	10,8	
o	19,8	10,5	16,1	I3,9	8,6	II,5	6,9	2,2	24,0	I2,6	I3,3	16,0	I7,2	19,2	I,1	44,0	II,4	53,0	18,2	8,9	5,1

Примечание к табл. 2.

1 - амфиболит, правый берег р.Калакан и Гахсам; 2 - граносиенит, водораздел рек Талакан и Гахсам; 3 - гранодиорит, там же; 4, 5 - гранит, верховья р.Тостур; 6 - габбро, левобережье р.Октохит; 7 - габбро-амфиболит, там же; 8 - гранит, левый берег р.Калар выше устья р.Бутумна; 9 - гнейсо-гранит, правый берег р.Октохит; 10 - гранит, правый берег р.Калар выше устья р.Бутумна; 11, 12 - граносиенит, водораздел рек Амунгнакса и Баладзек; 13 - то же, левый берег р.Усун; 14 - то же, водораздел рек Усун и Ниж.Джиды; 15, 16 - сиенито-диорит, устье р.Калар; 17 - то же, левый берег р.Бутумна; 18 - сиенит, устье р.Калар; 19 - гранит, верховье р.Джелу; 20 - сиенит, левый берег р.Джелу; 21 - то же, водораздел рек Джелу и Усун; 22 - то же, правый берег р.Баладзек; 23 - то же, левый берег р.Верх.Калакан; 24 - то же, водораздел рек Джелу и Бутумна; 25 - граносиенит, левый берег р.Калакан; 26 - то же, верховье р.Бутумна; 27 - гранит, правый берег р.Бутумна; 28 - то же, верховье р.Бутумна; 29 - то же, водораздел рек Бутумна и Ниж.Джиды; 30 - то же, водораздел рек Бутумна; 31 - сиенит, верховье р.Бутумна; 32 - габбро, правый берег р.Талакан; 33 - гранит, левый берег р.Джелу; 34, 34 - то же, левый берег р.Талакан; 35 - то же, правый берег р.Таксима; 36 - то же, правый берег р.Гунига; 37 - то же, правый берег р.Талакан; 38 - лампрофир, правый берег р.Калар выше устья р.Октохит.

Аналisis выполнены в химической лаборатории Читинского ТГУ.

Ниже - лейкократовые породы нормального ряда, слегка неоднородные SiO_2 и умеренно богатые шелочами, отклоняющиеся к щелочному гнейсу - граниту (ан.26).

С гранитоидами первого этапа описаные граниты имеют, с одной стороны, четкий интрузивный контакт, с другой, - связанны с ними постоянными переходами. Так, в бассейнах рек Амунгнакса и Джелу и по правобережью р.Усун наблюдалось четко рвущие контакты порфировидных гранитов с граносиенитами первого этапа и граносиенитов в гранитах второго этапа. Постепенные взаимопереходы между крупнозернистыми порфировидными гранитами второго этапа и граносиенитами первого этапа устанавливены в Усть-Каларском массиве и в юго-западной части Нижнекаларского батолита. Переход от гранитов к граносиенитам наблюдался в интервале 0,2-0,3 км и происходил путем увеличения в гранитах содержания калиевого полевого шпата, поглощения роговой обманки, уменьшения содержания кварца и исчезновения порфирокристаллического. Такие различия во взаимоотношениях свидетельствуют о реоморфическом генезисе гранитов второго этапа.

Лейкократовые граниты (GrPt, t) третьего этапа раннепротерозойского матматизма слагают центральную и северо-восточную части Нижнекаларского батолита, а также отдельные самостоятельные штокобразные тела. Форма тел лейкократовых гранитов штокобразная, всегда слабо вытянутая, с извилистыми контурами. Взаимоотношения их с гранитоидами первого и второго этапов по многочисленным наблюдениям в верховых рек Конкорин, Тодор и Бутумна чёткие и пронизывающие. Контакты, как правило, дисперсно крутие и лишь в северо-восточной части Нижнекаларского батолита пологие. На контакте с кристаллическими сланцами и гнейсами архейского возраста наблюдаются зоны мигматитов различной шириной от десятков метров до 1 км. Лейкократовые граниты - это ровоятные и жгутовато-серые мало-, средне-, крупнозернистые, часто слабо порфировидные породы массивного облика с характерным серым, реже дымчато-серым до черного кварцем. Структура пород гранитовая, нередко пегматоидная или слабо порфировидная с участками мирабеллитовой и пойнитовой. Состав гранитов (в %): кварц 25-35, плагиоклас (альб-олигоклаз и олигоклаз № 25) 30-35, нерешетчатый калиевый полевой шпат и решетчатый микроклин 35-40, биотит 0-2, редко до 4-5, акцессорные минералы: апатит, циркон, рудный минерал, сфеин, ортит, рутил. Часто наблюдается пятнистое или полное замещение плагиоклаза калиевым полевым шпатом. Вто-

тические процессы проявлены в незначительной серпентизации пла-

тиоклаза и пелитизация калиевого полевого шпата, хлоритизация и

мусковитизация биотита. По химическому составу лейкократовые гра-

ниты относятся к нормальному ряду пород, пересыщенных SiO_2 и

богатых щелочами, и отвечают щелочному граниту по Р.Дэли (см.

табл. 2, ан. 27, 28, 29, 30, 31).

Жильные образования раннепротерозойских гранитоидов развиты довольно широко, чаще всего пространственно тесно связаны с ма-теринскими породами или локализуются в экзоконтактах тел и пред-ставлены пегматитами (P_3), аplitами (A_3) мелкозернистыми лейкократовыми, редко биотитовыми и гранитами (G_3). Они образуют дайки мощностью от 4 до 10 м и протяженностью до 50–200 м.

Месторождение выше материала позволяет сделать вывод о том, что формирование раннепротерозойских гранитоидов происходило в три этапа и связано с процессами раннепротерозойского ультраметамор-физма. Гранитоиды первого этапа образовались в результате преобладающих метасоматических процессов и местами частичного выщав-ления. Об этом свидетельствуют встречающиеся в основном постепен-ные переходы их во вмещающие породы, условия залегания и текстурно-структурные особенности пород. Граниты второго этапа форми-ровались в условиях почти полной мобилизации и перемещения гра-нитного материала, в меньшей степени – кварцево-щелочного мета-соматоза, что подтверждается наличием в основном рутиловых контак-тов, реже – постепенных переходов к вмещающим породам. Граниты третьего этапа являются типичными метасоматическими образованиями. Раннепротерозойский возраст принимается условно на основании сопоставления с аналогичными раннепротеро-зойскими образованиями стабового комплекса, развитыми восточнее (Судовиков, Неклов, 1961). В пределах исследуемого района они имеют рутильный контакт с отложениями архейского возраста, ранне-протерозойскими габродиолами и прорываются в бассейне р. Таксима Гранитами раннего палеозоя.

Определение абсолютного возраста раннепротерозойских гра-нитов (табл. 3, ан. 1–3) отражает, очевидно, время мезозойской тектонической активизации.

Таблица 3

# ана-лиза	Место взятия и полевой № об-разца, автор коллекции	Порода	Анали- зиро- ванный мате-риал	К в %	Аг 40 Нт/т	А 40 К 40	Воз-раст млн. лет
1	Водораздел рек Тостур и руч. Макарин. 1962	Биоти- товый гранит	Био- тит	6,75	76,0	0,0092	158
2	Устье р. Калар. обр. II92. О.В.Сосников, 1962	Биоти- товый гранит-ровид-ный	То же	5,94	65,3	0,0090	155
3	Устье р. Калар. обр. II92/1. О.В.Сосников, 1962	Био- тит-амфи- боли- трано- сиенит	7,05	64,6	0,0076	132	

Определения абсолютного возраста проводились в лаборатории Читинского ТГУ. Аналитик М.А.Лемёхина.

Позднепротерозойские и нитрузии

Позднепротерозойские интрузивные образования пользуются незначительным развитием. Они установлены в северо-западной час-ти площади и локализуются в основном среди осадочно-метаморфи-ческих отложений нижнего Протерозоя или на границе последних с образование архейского возраста. Представлены позднепротерозой- ские интрузии породами таббородного ряда (якатский комплекс) и гранитами (баргузинский комплекс).

Икатский комплекс

Га́бо́ро, га́бо́ро-диориты, диориты ($\text{U-Pt}_{3/6}$) залягают в виде малых штокобразных тел среди известняков будущинской свиты нижнего протерозоя. Они отмечены на правом берегу р. Талакан в виде двух выходов овальной формы, занимавших площадь около 15 км² и характеризующихся небольшим повышением магнитного поля (до 100 гамм). Конкакты тел габброидов с вмещающими породами активные, преимущественно крутие. В строении массивов устанавливается следующая закономерность размещения пород. Центральная часть наибольшего из них сложена меланократовыми оливиновыми габбро, сменяющимися в сторону эндоконтакта нормальными габбро и затем габбро-диоритами. Два других массива сложены нормальными габбро и габбро-диоритами. Эндоконтактовую фацию всех тел слагают диориты. Между всеми разновидностями габброидов наблюдаются постепенные переходы.

Для габброидов икатьского комплекса характерна темно-зеленая, иногда с буроватым оттенком, часто пятнистая окраска, массивные текстуры и средне-, крупнозернистое сложение. Грубополосчатые и мелкозернистые разности отмечаются реже и свойственны, в основном, диоритам краевых частей массивов.

Меланократовые оливиновые габбро обладают габбро-сфитовой структурой с участками кельдифитовой и состоят (в %) из шпатоклаза (лабрадора № 54-56), 15-20, пироксенов (тилерстона и диопсида) 60-65, оливина 10-12, рудного минерала 3-3,5, апатита. В лейкогранитовых разностях оливиновых габбро гиперстен отсутствует, диопсид составляет до 25%, оливин - от 5 до 25%, шпатоклаз (лабрадор) 60-65%, диопсид и оливин замещаются роговой обманкой. По химическому составу оливиновые габбро-меланократовые породы нормального ряда, слегка недосыщенные SiO_2 , белые цементами, отвечают оливиновому габбро, по Р.Дэли (см.табл.2, ан.32).

Нормальные габбро и габбро-диориты от оливиновых габбро отличаются более крупнозернистым сложением, довольно интенсивным изменением по родообразующих минералов. Кроме габбро-сфитовой, они обладают также аллотриоморфнозернистой структурой с элементами поликлитовой. Их состав (в %): платоклаз (лабрадор № 50 или андезин № 38-40) - 20-55, диопсид 5-25, первичной и вторичной (по приоксено) роговой обманки 15-40, биотит (частично вторичный по роговой обманке) 5-10 и акцессорные минералы: сфер, ручный минерал, апатит.

Габбро-диориты ($\text{U-Pt}_{3/6}$) залягают в виде малых штокобразных тел среди известняков будущинской свиты нижнего протерозоя. Они отмечены на правом берегу р. Талакан в виде двух выходов овальной формы, занимавших площадь около 15 км² и характеризующихся небольшим повышением магнитного поля (до 100 гамм). Конкакты тел габброидов с вмещающими породами активные, преимущественно крутие. В строении массивов устанавливается следующая закономерность размещения пород. Центральная часть наибольшего из них сложена меланократовыми оливиновыми габбро, сменяющимися в сторону эндоконтакта нормальными габбро и затем габбро-диоритами. Два других массива сложены нормальными габбро и габбро-диоритами. Эндоконтактовую фацию всех тел слагают диориты. Между всеми разновидностями габброидов наблюдаются постепенные переходы.

Для габброидов икатьского комплекса характерна темно-зеленая, иногда с буроватым оттенком, часто пятнистая окраска, массивные текстуры и средне-, крупнозернистое сложение. Грубополосчатые и мелкозернистые разности отмечаются реже и свойственны, в основном, диоритам краевых частей массивов.

Меланократовые оливиновые габбро обладают габбро-сфитовой структурой с участками кельдифитовой и состоят (в %) из шпатоклаза (лабрадора № 54-56), 15-20, пироксенов (тилерстона и диопсида) 60-65, оливина 10-12, рудного минерала 3-3,5, апатита. В лейкогранитовых разностях оливиновых габбро гиперстен отсутствует, диопсид составляет до 25%, оливин - от 5 до 25%, шпатоклаз (лабрадор) 60-65%, диопсид и оливин замещаются роговой обманкой. По химическому составу оливиновые габбро-меланократовые породы нормального ряда, слегка недосыщенные SiO_2 , белые цементами, отвечают оливиновому габбро, по Р.Дэли (см.табл.2, ан.32).

Нормальные габбро и габбро-диориты от оливиновых габбро отличаются более крупнозернистым сложением, довольно интенсивным изменением по родообразующих минералов. Кроме габбро-сфитовой, они обладают также аллотриоморфнозернистой структурой с элементами поликлитовой. Их состав (в %): платоклаз (лабрадор № 50 или андезин № 38-40) - 20-55, диопсид 5-25, первичной и вторичной (по приоксено) роговой обманки 15-40, биотит (частично вторичный по роговой обманке) 5-10 и акцессорные минералы: сфер, ручный минерал, апатит.

Диориты обладают призматической зернистой структурой, ориентированной текстурой и состоят из основного шпатоклаза и кислого андезина (70-80%), пироксена (тилерстена) с развитием по нему роговой обманкой и биотитом (15-17%), калишпат-перитита (3-5%), апатита и рудного минерала; иногда наблюдается кварц до 3%.

Возрастное положение описанных габброидов определяется тем, что они на правобережье р. Талакан прокваивают известники будущинской свиты нижнего протерозоя и, в свою очередь, прорывают дайковой серией верхнепротерозойских гранитоидов. В пределах листа № 50-1 аналогичные габброиды прорывают образование верхнего протерозоя (Кибанов, 1964).

Среднеэфемистые биотитовые, частотные северо-западные граници баргузинского комплекса (12 Pt_{3/6}) слагают небольшие штокобразные массивы у западной границы описываемой территории. Тела гранитов имеют четкие и однодиминистичные контуры, несколько вытянутые в северо-восточном направлении. С вмещающими породами усть-бийинской и бытимской свит архея и с породами нижней подсвиты самокутской свиты нижнего протерозоя граниты имеют интрузивные контакты. Немногая прикон-тактовая полоса интенсивной интекционной метаморфации, вероятно, свидетельствует о круглом положении контактов тел гранитов.

Граниты имеют серую, светло-серую и реже белую окраску, равномерно-среднезернистое сложение и массивный облик. Порфировид-песчаниковая с элементами порфировидной или с участками мицеликитовой и пойкиллитовой. Состав гранитов (в %): кварц 25-35, шпатоклаз (олигоклаз № 22-25) 30-40, перешстатый калиевый полевой шпат, калишпат-перит и решетчатый макроклин 35-40, биотит 1-8; акцессорные минералы: сфер, рудный минерал, пирокон, рутил, ортит, апатит. Шпатоклаз неизначительно серпентинизирован, замещается кальцитом полевым шпатом и пиритом в полевом зерен солерюйт мицеликитом, кварца, а также антиперитом калиевого полевого шпата. По химическому составу граниты относятся к породам нормального ряда, пересыщенным SiO_2 , богатым цементами, и отвечают цементным гранитам, по Р.Дэли (см.табл.2, ан.33,34).

Жильная часть позднепротерозойских гранитоидов баргузинского комплекса представлена мелкозернистыми гранитами (Р.Дэли) и пегматитами (12 Р.Дэли). Мощность даек достигает 15-20 м, протяженность до 200 м.

Позднепротерозойский возраст описанных гранитов установлен на основании следующих данных. На исследованной территории они проявляют отложения нижней подсвиты самокутской свиты нижнепротерозойского возраста. Аналогичные граниты на территории листа № 50-УП (Киданов, 1964) проявляют отложения суванжинской свиты верхнего протерозоя и отмечаются в гальке нижнекемерийских конгломератов поческой свиты.

Раннепалеозойские интрузии

Витимский комплекс

Раннепалеозойский этапмагматизма проявился на исследованной территории крайне ограниченно. Интрузивные образования этого этапа представлены по фации Ильинской и Товинской транзитами первой фазы витимского комплекса ($\gamma_1 Fz_1 \nu t$).

Образуют они малые штокообразные тела, выходы которых отмечены на правобережье р. Талакан, в долине р. Гулдига и в бассейне р. Таксима. Штоки выходов гранитов не превышают 8-12 км². Форма штоков гранитов в плане овальная, заметно вытянутая в северо-восточном направлении. Контакты там крутые. В строении штоков принимают участие массивные биотитовые и лейкократовые граниты. Гнейсовидные разности развиты в основном в краевых частях массивов.

Биотитовые граниты — серые и светло-серые породы, характеризуются порфирородной гранитовой структурой и следующим mineralным составом (в %): кварц 20-25, плагиоклаз (олигоклаз № 20-27) 25-30, нерешетчатый калиевый полевой шпат и решетчатый микроклин 30-40, биотит до 5-7, акцессорные минералы: апатит, циркон, рудный минерал, сфен. В лейкократовых разностях содержание биотита 0-2%. Вторичные процессы проявлены слабо и выражаются в развитии серицита, мусковита и соссюрита по плагиоклазу, гематизации калиевого полевого шпата, хлоритизации и мусковитизация биотита. Насколько незначительное пятнистое замещение плагиоклаза калиевым полевым шпатом. По химическому составу описаные граниты относятся к породам нормального ряда пересыщенных SiO_2 , богатым шелочами, и отвечают гранитовому ашлиту, по Р.Дали (см.табл.2, ан.35,36,37).

Эндоконтактовые изменения гранитов заключаются в увеличенном содержании биотита, а также в появлении в них гнейсовидных текстур. Эндоконтактовые изменения проявлены слабо и заключаются в наличии вокруг штоков гранитов непирокой зоны (до 100 м) инвекционных мигматитов и в образовании метакристаллов калиевого полевого шпата. Кильные породы комплекса представлены мелкозернистыми экизи в алевитаматом и пегматитом и пегматитами (P_1). Эти породы образуют дайки мощностью до 2 м и длиной до 100 м. Локализуются дайки в основном в эзоконтактах интрузий.

На водоразделе рек Таксима и Октохит охарактеризование гранитов проявляет граносениты раннего протерозоя. В пределах шлюза листа № 50-Л аналогичные граниты в долине р. Бамбуки имеют интрузивный контакт с породами среднего и среднего — верхнетретьего отделов кембрия (Киданов, 1964); к юго-западу от изученной территории, по данным В.Н.Гусева (1963), дайка этих гранитов содержится в верхнекемерийских конгломератах исташинской свиты. Все эти факты позволяют считать возраст описанных гранитов раннепалеозойским.

Триасово-ранненерсийские интрузии

Гулдирский комплекс

К триасово-ранненерсийским интрузиям образованиям отнесены лейкократовые транзиты ($\gamma_1 Fz_1 \nu d$) и довольно разнообразная лайковая серия. Эти граниты слагают небольшие штокообразные трещинные тела площадью от 1 до 5 км², имеющие в плане изометричную форму. Штоки гранитов приурочены к зонам различных нарушений северо-восточного простирания и установлены у южной границы территории листа, в междууречье Коннорина и Бугарихты. Сложены они довольно однообразными мелко- и среднезернистыми, обычно порфировидными лейкократовыми гранитами. Контакты гранитов с вмещающими породами архей и гранитоподобными раннего протерозоя реактивы. Эндоконтактовая оторочка сложена чаще всего биотитовыми мелкозернистыми гранитами.

Граниты представляют собой поликристаллические, всегда массивной текстуры породы свежего облика с характерной розовато-серой окраской и с неравномерным, часто гнейсодобразным складением изометричных кристаллов кварца. Структура пород гранитовая

и порфировидная. Состоит граниты (в %) из кварца 15-30, плагиоклаза (альбит-олигоклаза) до 40, калишпат-террита и решетчатого микроклина 30-35, биотита до 2, иногда единичных зерен зеленой роговой обманки и акцессорных минералов: апатита, сфена, ортита, циркона и рудного минерала. Биотитовые разности гранитов содержат биотита до 6-8% и отличаются более мелкозернистым сложением. Вторичные процессы незначительно проявлены в серийизации плагиоклаза, пелитизации калиевого полевого шпата и частичной хлоритизации биотита. Незначительно также замещение плагиоклаза калиевым полевым шпатом.

Лайковая серия описанных гранитов представлена мелкозернистыми стямыми гранитами (γ), пегматитами (ρ), кварцевыми породами (λ), лампрофилрами (δ М- λ , φ), кварцевыми породами (λ), пегматитами (λ) и диоритами (ρ - φ). Граниты и пегматиты образуют медленные (0,2-5 м) небольшой протяженности лайки в основном в экзоконтактах интрузий, реже в зонах нарушений вдали от выходов гранитов. Кварцевые породы, лампрофилры и диоритовые порфириты в виде даек мощностью от 1 до 5 м и протяженностью нередко до 200 м развиты повсеместно, причем лампрофилры пользуются преобладанием развития. Направление и распределение даек подчиняется основным динамическим нарушениям северо-восточного простирания и их опережением. Наиболее широко среди лампрофилров развиты разности спессартит-жерсанитового и реже спессартитового ряда. По химическому составу лампрофилры являются лейкократовыми породами нормального ряда, слегка недосыщенным SiO₂, умеренно богатыми щелочами, и отвечают жерсаниту, по Р.Дэли, но с повышенным содержанием щелочей (см.табл.2, ан.38).

На исследованной территории описанные граниты имеют интрузивный контакт с отложениями витимской свиты и гранитоидами раннего протерозоя. На прилегающей с юга территории они прорывают граниты витимского комплекса (ранний палеозой) и содержатся в тальке континентальных листов верхнепротерозойского - нижнемелового возраста (Халсадон, 1963).

По данным Л.И.Салона (1967), тулукские граниты в бассейне р.Уда прорывают вулканогенную толщу триаса, а талька их находятся в конгломератах удинской свиты средней юры. Абсолютный возраст гранитов тулукского комплекса на территории листа №50-ХУ колеблется от 128 до 178 млн. лет (Головков, 1965).

ные позволяют считать возраст описанных гранитов условно триасово-ранненеокарским.

ТЕКТОНИКА

Изученный район расположен в зоне сочленения двух крупнейших тектонических областей Олекмо-Витимской горной страны - области раннепротерозойской складчатости и архейской (позднеархейской)^{1/}, по С.П.Смеловскому (1965), складчатой области. Граница между этими областями служит Талаканский разлом. Раннепротерозойская складчатая область в пределах описываемой территории представлена только восточной частью Кондо-Каренгской зоны (Смеловский, 1965). Последняя сложена карбонатно-терригенными отложениями раннепротерозойского возраста, а также разновозрастными интрузивными образованиями (рис.1).

Архейская складчатая область характеризуется широким развитым архейских страгифицированных и плутонических пород, а также сильным проявлением интрузивной деятельности в раннем протерозое.

В строении описываемой территории принимают участие разновозрастные комплексы пород, слагавшие следующие структурные ярусы: архейский, раннепротерозойский, позднепротерозойский, раннепалеозойский и мезозойский.

Архейский строурутурный ярус включает в себя образования согласно застекающих усть-чилинской, витимской и октокитской свит, а также прорывающие их архейские интрузии. Простирание складчатых структур архейского яруса меняется от северо-восточного (35-50°) на западе и до юго-восточного (145°) на востоке, как бы образуя ряд дуг, обращенных выпуклой стороной на север. Дугообразный характер складчатых структур архея подтверждается данными аэромагнитной съемки (см.рис.2). Все магнитные аномалии группируются в двух направлениях: северо-западном и северо-восточном, согласуясь с простиранием архейских структур (Бородинов и др., 1965).

1/ Авторы вслед за С.П.Смеловским (1965) придерживаются мнения о позднеархейском возрасте тектогенеза этой области.

В южной половине территории листа выделяются две крупные структуры первого порядка: Каларская антиклиналь и Дагринская синклиналь.

Каларская антиклиналь расположена в низовьях р. Калар. Ядро антиклинали фиксируется по выходам пород верхней подсеки усть-Чилинской свиты на водоразделе рек Калар и Конкорин. Крылья структуры сложены городами витимской свиты. Простижение структуры меняется от северо-восточного на западе до юго-восточного на востоке. Антиклиналь прослежена на протяжении 40 км. Углы падения пород на крыльях Каларской антиклинали меняются от 20 до 70°. Довольно часто наблюдаются встречные падения. Последнее заставляет допустить наличие здесь складок второго и более высоких порядков.

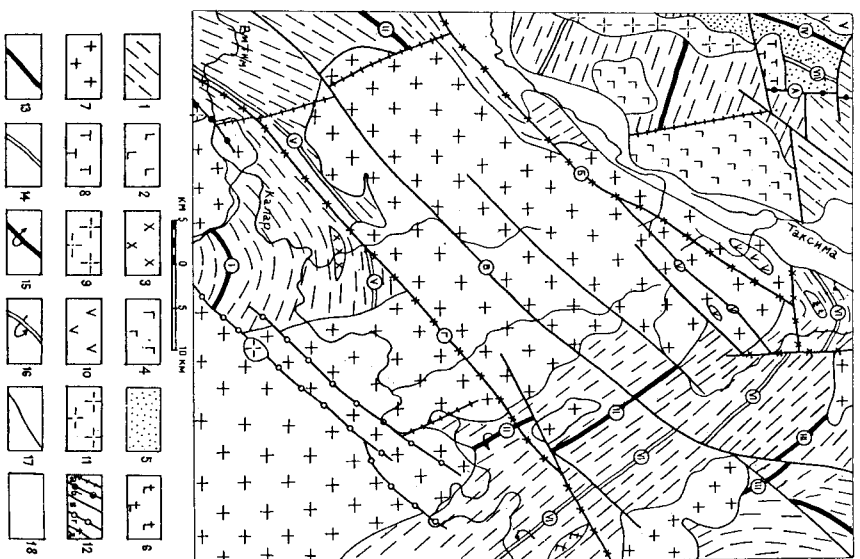


Рис. 1. Тектоническая схема

1-4 - архейский структурный ярус; 1 - вулканогенно-терригенная формация, 2 - догостренные интрузии спилито-диабазовой формации, 3 - синорогенные интрузии формации митматитов фации гипостено-гнейсов, 4 - позднегородные интрузии формации митматитов фации гипостено-гнейсов; 5-7 - раннепротерозойский структурный ярус; 5-7 - теригино-карбональная формация, 6 - габбро-диоритовая формация, 7 - формация гранитоидных батолитов "пестрого" состава; 8-9 - позднепротерозойский структурный ярус; 8 - габбро-диорит-гранодиоритовая формация, 9 - формация гранитоидных батолитов; 10 - раннепалеозойский структурный ярус, формация граничных батолитов; 11 - мезозойский структурный ярус, формация субуниканских гранитов; 12 - основные разломы (на схеме обозначены буквами: А - Талакинской, Б - Джилидинской, В - Тостурской, Г - Колдакинской), закончившие свое развитие в раннем прогреозе, 5, 6 в позднем прогреозе, 8, 9 в самом прогреозе, 10 в мезозое, 11 в кайнозое (выражены в современном рельфе); 13 - оси антиклиналей (на схеме обозначены римскими цифрами: I - Каларской, II - Усть-Чилинской, III - Талакинской, IV - Тостурской, V - Колдакинской, VI - Октоцитской, VII - Долгинской); 15 - ось опрокинутой антиклинали; 16 - ось опрокинутой синклинали; 17 - линии интрузивных контактов; 18 - владина кайнозойского возраста

В северной части описываемой территории выделяются следующие структуры первого порядка (с юга на север): Усть-Чилинская антиклиналь, Октокитская синклиналь и Тостурская антиклиналь. Антиклинали фиксируются по выходам в их ядрах усть-Чилинской свиты или нижнеитимской подсвиты, синклинали - по выходам в пределах Итимской и Октоцитской свит. Ширина складок колеблется в пределах 15-20 км. Углы падения пород на крыльях складок меняются от 45 до 60°, редко отклоняются до 20-70°. Структуры первого порядка осложнены складками более высоких порядков, иногда опрокинутыми. Опрокинутое залегание структур отчетливо наблюдалось по складкам волочения в обнажениях нижней р. Октокит. В местах глубокого погружения шарниров Усть-Чилинской и Тостурской антиклинали последние осложнены складками второго порядка с размахом

крыльев по Ю-КМ, ориентированными почти в перпендикулярном направлении к простиранию основных структур.

Породы архейского магматического цикла прорывают стратифицированные образования архейского комплекса и представлены догорогенным пластовыми залежами основных пород, синорогенными телами протокластических гранитов и позднеорогенными дискордантными массивами гиперстеновых граносиенитов и гнейсовых гранитов. Для первых двух характерно полное совпадение ориентировки внутренних структур массивов и вмещающих пород, для последних такое совпадение не характерно.

Структуры архейского структурного яруса в северо-западном, северо-восточном, реже субширотном и субмеридиональном направлениях секутся разломами, которые фиксируются по зонам окварцевания и брекчирования пород, а также по резким перегибам рельефа. Ряд разломов (в верховых р. Верх. Калакан и др.) фиксируется на карте гравировок ΔT по резкой смене отрицательных и положительных полей (рис.2).

Р а н н е п р о т е р о з о и с к и й с т р у к т у р н ы й я р у с представлен отложениями самокутской и булундинской свит, габбро-пироксенитовой формации, а также формации гранитоидных батолитов "пестрого" состава. В пределах территории листа отмечены образование данного структурного яруса слагают две крупные структуры: Долгунинскую антиклиналь и Талаканскою антиклиналь. Долгунинская антиклиналь расположена в низовых р. Талакан. Ширина ее 8-10 км. Простирание антиклинали северо-восточное, близкое к субмеридиональному. Углы падения на крыльях антиклинали меняются от 40 до 60°, редко 70°. Западнее антиклинали расположена Талаканская антиклиналь, которая сопряжена с первой по крутизну взбросу. Ядро антиклинали сложено породами нижней подсвиты самокутской свиты, юго-восточное крыло — булундинской свиты. Структура пролежит на расстоянии около 20 км. Данная антиклиналь разбита разломами разных направлений на ряд блоков. Углы падения на крыльях данной структуры меняются от 40 до 60°.

Таким образом, наблюдается несовпадение структурных планов архейского и нижнепротерозойского структурных ярусов. Отчетливо несовпадение структурных ярусов наблюдается в низовых р. Талакан, где по разлому контактируют структуры северо-западного простирания (архейский структурный ярус) и структуры северо-восточного направления (раннепротерозойский структурный ярус). Габбро-пироксенитовая формация представлена малыми телами и пластовыми

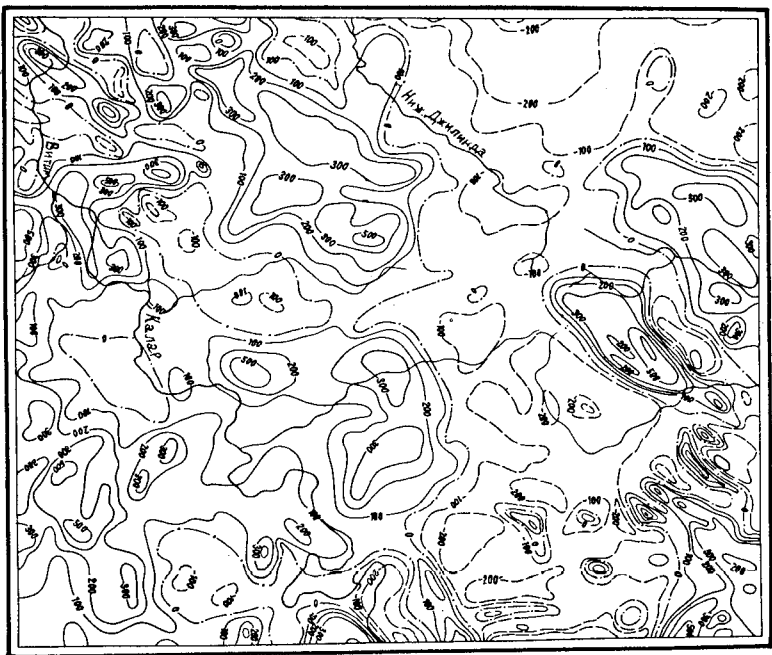


Рис.2. Карта изодинам аномального магнитного поля.

Составили Г.И.Макар, Л.А.Мастолин,

В.Д.Огородников

1 — положительные изолинии, 2 — негативные изолинии, 3 — отрицательные изолинии

залежами габро и габро-амфиболитов. С вмешанием их архейским образованием контакты четкие. Простирание тел согласуется с направлением складчатых структур архейского комплекса.

Формации гранитоидных батолитов представлена Нижнекаларским батолитом и небольшими массивами. Становление батолита произошло в три этапа. Гранитоиды первого этапа слагают небольшие конкордантные тела или краевые части батолита. Контакты этих гранитоидов с вмешивающимися породами в большинстве случаев постепенные, реже рутилье. Ориентировка кристаллизационной сланцеватости в гранитоидах совпадает с направлением кристаллизационной сланцеватости вмещающих пород.

Гранитоиды второго этапа слагают центральные части Нижнекаларского батолита и небольшие тела, согласные со складчатыми структурами архейского структурного яруса. Контакты их рутилье, реже постепенные. Гранитоиды третьего этапа слагают небольшие массивы, простирание которых согласуется в общем с направлением складчатых структур архейского комплекса.

По данным гравиметрической съемки, Нижнекаларский батолит характеризуется пониженными гравитационным полем, а с его центральной частью совпадает гравитационный минимум (рис.3).

Позднее приурочены к разрывным нарушениям, главным из которых является Талаканский разлом. Фиксируется он на протяжении около 30 км от р. Гулита до верховья р. Талакан по наличию окарованных и катаклизированных пород, а также – по резкому соприкосновению разновозрастных свит. Простирание разлома колеблется от северо-восточного на юг до субмеридионального на севере. Судя по конфигурации лизынктинного нарушения в плане, данный разлом представляет собой сброс, заложение которого, по-видимому, произошло в раннепротерозойское время.

Ранний структурный этап включает в себя образование трендовых интрузий, приуроченных к раннепалеозойским разломам северо-восточного направления. Последние развиты в северной части района. К лизынктинным нарушениям этого возраста отнесены Джилинданская и Гостурская группы разломов.

Джилинданская группа разломов объединяет в себе тектонические нарушения, разные по характеру и по масштабу. К разломам этой группы отнесены тектонические нарушения северо-восточного направления, развитие на участке, ограниченном с запада Джилинданская

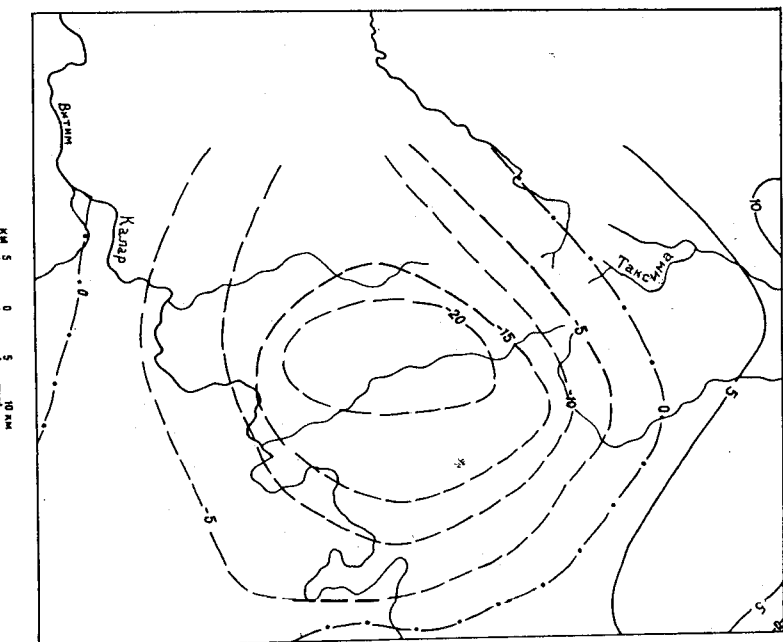


Рис.3. Карта локальных аномалий Δg .

Составили Л.А.Мастолин, В.Д.Огородников
1 - положительные изолинии, 2 - негативные изолинии, 3 - отрицательные изолинии

линской депрессии, с востока — линией: верховья р.Бугариха — верховья р.Окточка. Простижение этих разломов северо-восточное ($35-50^{\circ}$), ширина зон разломов от первых метров до первых десятков, реже сотен метров. Фиксируются эти нарушения по наличию квартированных и катаклизированных пород и по резким уступам в рельфе. Судя по конфигурации дизъюнктивных нарушений в плане и крутым углам падения сместителя, часть разломов представляет собой сбросы, другая — кругие наставы.

Тостурская группа разломов расположена в верховых р.Окточки и обединяет в себе дизъюнктивные нарушения северо-восточно-го простирания ($45-60^{\circ}$). Эти разломы, судя по крутым углам падения плоскостей сместителя ($50-60^{\circ}$), относятся к сбросам. По-видимому, значительная часть разломов панной и Джилининской группы представляет собой доложивущие, заложенные в архейское или в раннепротерозойское время.

М е з о з о й с т р у к т у р н ы я р у с представлен трещинами и небольших размеров, приуроченными к мезозойским разрывным нарушениям северо-восточного простирания. Развиты интрузии в южной части района юго-восточнее линии: устья р.Бугариха — р.Калакачан. Большинство из разломов мезозойского возраста представляют собой сбросы с падением плоскости сместителя на юго-восток под углом 70° .

ИСТОРИЯ ГЕОДИНАМЕТИЧЕСКОГО РАЗВИТИЯ

Главнейшие этапы развития изученного района, зафиксированые в образовании перечисленных структурных ярусов, могут быть характеризованы следующим образом.

В начале архея описываемая территория была частью обширной архейской геосинклинати северо-западного простирания. В это время формируются крупные глубинные разломы, по которым изливается основные лавы. Накопление осадков устюдинской свиты происходило в тектонически подвижной обстановке, что подчеркивается быстрой фациальной изменчивостью отложений в вертикальном направлении, а также присутствием подводноизлившихся основных эфузивов, прерванных впоследствии в прикорен-амфибол-плагиоклазовые и амфибол-плагиоклазовые кристаллические сланцы. Накопление отложений витимской свиты проходило в условиях дальнейшего прогибания.

Наличие гранат-биотитовых гнейсов и биотит-плагиоклазовых кристаллических сланцев с одной стороны, биотитовых гнейсов и известняков, с другой, свидетельствует о том, что на фоне общего

опускания морское дно испытывало небольшое поднятие. С началом накопления октокитской свиты условия осадконакопления меняются.

Снова происходит усиленное подводное излияние основных эфузивов. К ранним этапам развития архейской геосинклинати приурочено внедрение небольших согласных тел основных иультрабазисных пород. Со средним этапом развития геосинклинати связана главная складчатость, обусловившая формирование ряда вышеиспоменных синклинальных и антиклинальных структур. Одновременно со складчатостью проявился региональный метаморфизм, выражавшийся в образовании горд гранулитовой фации. Региональный метаморфизм гранулитовой фации сопровождался и завершился процессами ультратраматоморфизма. На отдельных участках прошессы ультратраматоморфизма проявились в частичном переплавлении пород. Процессы переплавления пород и кремнисто-щелочного метасоматоза, проявившиеся одновременно со складчатостью, привели к становлению протоконтактических гранитов, после складчатости — к образованию гиперстеновых гранититов (чернокитов) и гнейсовых гранитов. К концу архея происходит поднятие панной территории над уровнем моря.

В раннепротерозойское время крайняя западная часть изученной территории представляла собой часть внешнего пояса (Кондогарентской зоны) раннепротерозойской геосинклинати. К начальным и ранним этапам развития внешнего пояса раннепротерозойской геосинклинати присущено накопление песчанико-ланцевых толщ, сменяющиеся потом накоплением карбонатных пород. В это же время происходит формирование небольших тел основных пород. Со средним этапом развития геосинклинати связана складчатость, в результате которой раннепротерозойские отложения были смыты в ряд линийских складок северо-восточного простирания. Одновременно со складчатостью проявился региональный метаморфизм зеленосланцевой фации с переходом на отдельных участках до амфиболитовой.

Остальная часть территории реалировала на складчатость проявившуюся в раннепротерозойской геосинклинати, заложением новых и по�新ением ряда старых разломов. В это время породы архейского комплекса претерпели повторный регressiveный метаморфизм амфиболитовой фации. Последний сопровождался и завершился мигматизацией, гранитизацией и переплавлением архейских образований. Эти процессы и привели к становлению гранитоидов становового комплекса. Формирование их произошло в три этапа. Образование гранитоидов первого этапа обусловлено, в основном, процессами кремнисто-щелочного метасоматоза и, частично, селективного плавления. Ко второму этапу относится становление порфировидных и порфиробла-

стовых расщемленных гранитов. В третий этап происходит образование гранитов собственно магматического генезиса. Завершающим процессом раннепротерозойского эпизода явился повторный локально проявленный ультраметаморфизм, проявившийся в частичной амфиболизации пород, в образовании основных птигматитов и метасоматических табло.

После значительного перерыва в позднепротерозойское время западная часть территории листа испытала тектоно-магматическую активизацию, проявившуюся в заложении или половьиении ряда разломов и образованиях трещинных интрузий.

Раннепалеозойские стратифицируемые образования в пределах описываемой территории отсутствуют. Однако наличие раннепалеозойских интрузий, а в Непосредственной близости от изученной территории – дислоцированных кембрийских отложений, свидетельствует о том, что в раннем палеозое данная территория испытала антиклинацию. Превнескальонские складчатые движения, имевшие место за пределами рассматриваемой территории, проявились в пределах последней половьиением старых разломов и заложением новых, а также в образовании небольших массивов гранитов.

После перерыва в мезозойское время юго-восточная часть района, именуемая: устье р.Бугарихта – Кадакачан, испытывает значительную активизацию. Происходит заложение ряда разломов северо-восточного простирания и образование приуроченных к этим нарушениям трещинных интрузий гранитоидов и даек средних и кислых пород.

Новое оживление тектонической жизни данной территории происходит в четвертичный период.

ГЕОМОРФОЛОГИЯ

Исследованная территория представляет собой неравномерно расчлененную среднегорную область с участками высокогорья и относится к юго-западной окраине Чарско-Каларского высокогорного района Байкальской горной страны (Форенсов, 1961). Главным фактором в формировании рельефа являются новейшие блоковые движения, обусловившие возникновение сложно построенных горстов-хребтов и линейного грабена – Джилиндинской впадины. Эти структуры определили направленность экзогенных процессов рельефообразования и привели к морфологической разнородности рельефа площади.

В районе выделены два комплекса типов рельефа: скульптурный и аккумулятивный.

Скульптурный рельеф

В скульптурном рельефе выделены:

1) высокогорный глубокорассечененный кругосклонный рельеф со следами ледниковой деятельности;

2) среднегорный среднерассеченный кругосклонный рельеф;

3) среднегорный слаборассеченный микроконтурный рельеф.

Высокогорный склонный рельеф со следами ледниковой деятельности развит в центральной и северо-восточной части Нижнекаларского хребта и отличается интенсивной и глубокой вертикальной расщемленностью.

Сложносочетающиеся формы этого типа рельефа созданы процессами линейной эрозии, тальвой денудации и ледниковой деятельности. Абсолютные высоты в пределах высокогорья составляют 1800-2200 м, относительные прецентрия 800-1400 м. Водораздельная часть Нижнекаларского хребта характеризуется уплощенными массивными очертаниями и слабоступенчатым продольным профилем. На водоразделе рек Бугумса и Ниж.Джилинда и в северной части площади наблюдаются карлингоподобные вершины, узкие экзарационные гребни, глубокие троговые долины и кары. Кари приурочены к абсолютным уровням 1800-2200 м, имеют размеры от 700 до 1200 м в перечнике и глубину до 200-300 м. Площадки каров часто разрушены и превращены в циркообразные водосборные воронки. Троговые долины наблюдаются в верховых рек Ниж.Джилинда, Таксима, Бугумса и пр., где имеют глубину вреза 500-600 м, ширину 1-1,5 км и протяженность 10-12 км.

Последниковая интенсивная эрозия образовала глубокие и узкие долины с прямолинейными крутыми склонами, **У**-образными и трапециевидными поперечными и кругопадающими продольными профилями. Большинство долин приурочено к зонам разрывных нарушений, в результате чего в плане очерчания долин угловато-коленчатые. В формировании современного облика рельефа большая роль принадлежит топловой лентации, в результате которой интенсивно и широко развиваются наторные террасы и ступенчатые склоны. Это способствует деструктурности ледниковых и эрозионных форм и стяжанию водоразделов. В пределах высокогорья и среднегорья, несмотря на их расчлененность и омоложение, сохранились реликты древней поверхности денудации на гипсометрических уровнях 1200, 1400, 1700, 1800 и 2000 м. Июла на них встречаются ледниковые валуны, галька и моренный суглинок полупокровного оледенения. Ступенчатое снижение уровней древней поверхности денудации в юго-за-

падном и южном направлении в Нижнекаларском хребте и на отрогах Южно-Муйского хребта объясняется тем, что в прошлом единий региональный пейзаж, вовлеченный в сюловое поднятие, новейшими тектоническими движениями был разломан на блоки, испытавшие различные по амплитуде поднятия.

Средний срелни и срелнирасчлененый крутото склонный рельеф развит в южной северо-западной части площаи. Сформировался этот рельеф под действием факторов эрозии и денудации, длительно действовавших на фоне умеренных глыбовых поднятий. Основные черты характеризующего рельефа определяются массивными водоразделами Нижнекаларского и Янканского хребтов, отрогов Южно-Муйского хребта и довольно глубокими долинами. Водоразделы характеризуются сложным продольным профилем и состоят из уплощенных, обычно куполо-видных вершин, разделенных широкими седловинами. Абсолютные отметки водоразделов 1300–1800 м, относительные превышения 400–700, рече 1000 м. Глубины вертикальных врезов долин увеличиваются к северо-востоку по мере возрастания абсолютных высот хребтов.

Ведущим рельефообразующим фактором среднегорья является склоновая денудация, заключающаяся в повсеместном и интенсивном проявлении мерзлотно-солидификационных процессов. Эти процессы приводят к широкому развитию поверхностей тальвогового выравнивания, нагорных террас и курумов.

Степень и характер расчлененности среднегорного рельефа зависят, главным образом, от неотектонических движений, обусловивших положение основных водораздельных линий относительно местных базисов денудации – Джилидинской впадины и долин рек Калара и Витима. Кроме того, характер рельефа определяется литологией субстрата и направлением различных нарушений. Так, для северо-западных отрогов Нижнекаларского хребта характерен перистый рисунок гидросети, что объясняется непосредственной близостью водораздельной части хребта от впадины и однородным гранитоидным субстратом. Бассейны рек Калар и Витим присущие ветвистосетчатое очертание гидросети, обусловленное широким развитием разрывных нарушений. Плавные контуры рельефа среднегорья характерны для участков с широким развитием гранитоидов (верховья рек Бугарихы, Джалу, отроги хр. Янкан). На кристаллических сланцах и гнейсах очертания форм рельефа более резкое. На известняках нижнего протерозоя в верховьях р. Талакан развиваются формы поверхности карста: скалистые гребни, остроконечные вершины, воронки, поверхность растворения.

Глубина и форма поперечных профилей долин и крутизна склонов находятся в прямой зависимости от величины роли денудации и линейной эрозии. В верховьях долины имеют, как правило, вогнутый трапециевидный профиль и глубина эрозионного вреза достигает значительной величины. В низовьях долины заметно расширены, склоны их вогнуты, эрозионный врез максимальный.

В рельефе среднегорья находит свое морфологическое выражение большинство крупных разрывных нарушений, определивших в основном четко-линейные отрицательные формы рельефа – долины и седловины. Наиболее крупные из них выражены в виде куплообразно примыкающих друг к другу и четко-линейных в плане эрозионно-тектонических уступов вдоль юго-восточного борта Джилидинской впадины. Высота уступов 200–400 м. Крутизна до 35–40°. Сохранившие уступы в течение длительного времени свидетельствует об антиустойчивости этих крупных тектонических нарушений, живучести их в настящее время и положительном характере новейших движений в Нижнекаларском хребте.

Среднегорный сладорасчлененный мягконизурующий рельеф развит в междуречье Талакана и Ниж.Джилиди и возник в результате мелкого поднятия и плавного эрозионного расчленения. Этот тип рельефа на современном этапе стал областью преобладания замедленной плоскостной денудации. Развитый в основном на кристаллическом субстрате архейских толп, этот рельеф отличается монотонными мягкочерченными широкими водоразделами, разобщенными широкими долинами. Абсолютные высоты водоразделов не превышают 1200 м, относительные превышения составляют не более 450 м. Водоразделы состоят из уплощенных вершин, чередующихся с почти равнинными, часто заболоченными седловинами. Курумы, нагорные и солидифационные террасы в пределах этого типа рельефа встречаются редко. Полеречные профили долин чаще всего имеют слабовогнутую форму. Продольные профили достигли своего равновесия, поймы рек хорошо развиты.

Акумулятивный рельеф

В аккумулятивном рельефе исследованной площаи выделены:

- 1) озерно-аллювиальная равнина Джилидинской впадины;
- 2) аллювиальные равнины долин современных рек; 3) увалисто-холмистая равнина на ледниково-речных и моренных отложениях;

4) наклонная предгорная равнина на промежуточно-депрессионных об-
разованиях.

О з е р н о - а л л о з и а л ь н а я р а в н и н а
Д ж и л и н д и н с к о й з п а д и н и представляет собой
склоны всхолмленную заболоченную и затесненную поверхность с ме-
точисленными озерами, прируслами и озерными валами и подмытыми
тралами. Эта равнина является днищем Джилиндинской впадины. По-
следняя представляет собой линейно-вытянутое в северо-восточном
направлении межгорное асимметричное понижение шириной от 2,5 до
10 км.

В средней части впадина наиболее узка и приподнята, что
объясняется, очевидно, склоновым строением фундамента. Абсолютные
отметки дна впадины 550–760 м. Широ-восточный борт впадины резко
сочленяется с Нижнекаларским хребтом посредством крутого эрозион-
но-тектонического уступа, а северо-западный, особенно в южной
части впадины, плавно переходит в среднеторфье.

А л л о з и а л ь н ы е р а в н и н ы п о л и н с о в-
р е м е н н ы х р ек по морфологии близки к облику равнины
Джилиндинской впадины, но отличаются меньшими размерами и поли-
тическим характером поверхности, ограниченным развитием озер
и малой мощностью рыхких отложений.

Долины рек Талакан, Долуга и др. характеризуются равнинным
подмытым ландшафтом с террасовидными утесами и подсклоновым
противоположными шлейфами. В долинах рек Калар и Витим равнинам
ландшафт, кроме поймы, характеризуется также и высокие террасы.
Террасы располагаются в виде разобщенных площадок обычно на од-
ном, а в расширенных участках (урочища Толоры, Лагры) на обоих
берегах и имеет ширину до 2 км. Морфологически террасы выраже-
ны четко, поверхности их иногда заболоченные и несущие озера, сле-
до наклонены к руслям.

Приподные части террас прикрыты делювиальными шлейфами.
Высота террас рек Багана и Калара следующая: первой надпойменной
террасы – 5–8 м, второй – 10–15 м, третьей – 18–25 м, четвертой –
40–50 м, пятой – 80–100 м, шестой – 120–140 м. Пойма и I надпой-
менная терраса почти всегда аккумулятивные, остальные террасы –
эрозионно-аккумулятивные. При этом мощность аллювия на них резко
уменьшается с высотой, и на поверхности II террасы отмечается
лишь единичная галька. Увалисто-холмистая равнина разыта на
ледниково-речных отложениях и конечных моренах в местах выхода
трехобразных долин рек Ниж.Джилинда и Таксима из Нижнекалар-
ского хребта. Эта равнина на 30–35 м возвышается над поверх-

ностью озерно-аллювиальной равнины Джилиндинской впадины и
слабо наклонена к центру последней. Морфологически эта равнина
представлена беспорядочным сочетанием холмов и увалов с обли-
еми заболоченными понижениями. Наклонная предгорная равни-
на возникла вследствие сильных конусов выноса и обломочных под-
склоновых шлейфов и является наиболее молодой наложенной поверх-
ностью. Узкая пологая шириной до 2,5 км она протягивается вдоль
подножья эрозионно-тектонического уступа у широ-восточного борта
Джилиндинской впадины. Поверхность равнины заметно наклонена к
центру впадины, расчленена многочисленными притоками рек Ниж.Джи-
линда и Усун и покрыта кошковатыми марами.

ИСТОРИЯ РАЗВИТИЯ РЕЛЬЕФА

История развития рельефа исследованной площади установли-
вается с начала среднечетвертичного времени. К этому времени в
результате новейших тектонических движений глыбового характера
оформились основные черты хребтов и Джилиндинской межгорной впа-
дины, а также заложилась древняя глыбосеть. Наступившее в средне-
четвертичное время поколодание климата на фоне дальнейшего под-
нятия площади вызвало оледенение, которое, по данным В.И.Колес-
никова (1963), имело полупокровный характер. Оледенение затор-
мозило эрозионные процессы и накопление аллювиальных отложений,
а на площадях, расположенных южнее, способствовало развитию ак-
тивной денудации, в частности широкому развитию форм мерзлотно-
го комплекса.

В эпоху межледниковых эрозионная деятельность была оживлена
и привела к интенсивному расчленению всей территории. Дальней-
шие перемещения глыбового характера обусловили частичную пере-
стройку речной сети, о чем свидетельствуют противоположное на-
правление течений рек Таксима и Ниж.Джилинда и наличие поднятых
на различную высоту участков долин иногда с сохранившимися аллю-
вием. В начале верхнечетвертичного времени территория подверглась
долинному оледенению, оставившему следы в виде проглов, боковых
и конечных морен, а также отдельных валов и гряд водно-леднико-
вого прохождения. Последовавшая за долинным оледенением бурная
эрзия создала резко расчищенный рельеф, а в долинах рек Калар
и Витим сформировались II и III надпойменные террасы. С этого вре-
мени глыбосеть территории существенных изменений не претерпела.
В конце верхнечетвертичного времени наиболее возвышенная часть
Нижнекаларского хребта подверглась каровому оледенению, которое

з расположенных севернее хребтах Колар и Улокан наблюдается и в настоящее время. По-видимому, каровое оледенение является завершшей стадией длинного оледенения.

На современном этапе рельефообразования исследованная площадь испытывает блоковые движения, разные по амплитуде и знаку, проявление которых в виде частых землетрясений отмечается и в настоящее время. Основными факторами, моделирующими рельеф территории, являются глубинная эрозия и гольцовая денудация с широким развитием форм морозотого комплекса, и только в Джилиндинской впадине и на отдельных участках долин Калара и Витима актуализируется обломочный материал, сносимый с хребтов.

ПОЛЕЗНЫЕ ИСКОПАЕМЫЕ

На карте полезных ископаемых по состоянию на 1 декабря 1967 г. показано промышленных месторождений,рудопроявлений, шлиховых и металлогеометрических ореолов рассеяния полезных компонентов общим количеством пятьдесят одно. Они представлены металлическими (цветные, благородные и редкие металлы), неметаллическими полезными ископаемыми, строительными и другими материалами.

МЕТАЛЛИЧЕСКИЕ ИСКОПАЕМЫЕ

Цветные металлы

Свинец и цинк

Известны одно коренное проявление свинца и цинка и два металлогеометрических ореола рассеяния. Коренное рудопроявление этих металлов (39) расположено на правобережье р.Витим и 3 км ниже устья р.Калар (Целановский, 1944). Представлено кварцевой жилой мощностью от 5 до 15 см северо-восточного простирания с падением на северо-запад под углом 50°. По простиранию жила прослежена на 10-12 м. Жила содержит редкую вкрапленность сульфидов. По данным химического анализа, содержание (в %) свинца 0,21-0,79, цинка 0,06-0,65, меди 0,21-0,74. Металлогеометрические ореолы рассеяния (15, 25) площадью 7 и 15 км² характеризуются низким содержанием свинца (0,005-0,01%, редко до 0,05%) и цинка (0,01-0,03%). Все эти проявления являются бесперспективными.

Цинк

Известен один металлогеометрический ореол рассеяния (26) площадью (0,01-0,05%) площадью 8 км². Ореол пространственно притянут к зононконтакту небольшого массива раннепротерозойских гранитов второй фазы. В штуфных пробах, отобранных на площади этого ореола, цинк спектральным анализом не зафиксирован. Практически интереса данный ореол не представляет.

Полиметаллические руды

На территории листа известно семь проявлений полиметаллов, из которых одно в коренном проявлении, шесть - в виде ореолов рассеяния. Т о п о р о с к о е р у д о п р о я з л е н и е (45) представлено зоной дробленых гранитов северо-западного простирания мощностью 5-8 м с редкой вкрапленностью сульфатов. По простиранию зона прослежена на первые десятки метров. Содержание свинца 0,001-0,01%, редко - 0,5%, цинка 0,01-0,3%, серебра следы - 0,001%.

Пространственно с данным проявлением совпадает металлометрический ореол (32) рассеяния свинца (0,005-0,01%, редко 0,02-0,05%), цинка - 0,01-0,09%, серебра (следы - 0,003%). Площадь ореола 16 км². Ореол пространственно приурочен к дробленым и участкам гидротермально измененным нижнепротерозойским транстоидам.

Описанное проявление, виду убогого и неравномерного оруденения, практической ценности не представляет. В то же время они являются благоприятными участками для обнаружения здесь проявлений золота, хотя пробирным анализом штуфных проб золото не обнаружено.

Металлогеометрический ореол (21) рассеяния цинка (0,01-0,09%), свинца (0,005-0,01%), серебра (следы) расположен в верховых р.Усмын и пространственно приурочен к зоне разлома северо-восточного простирания. Площадь ореола рассеяния 2 км². В непосредственной близости от данного ореола в штуфной пробе пробирным анализом зафиксировано содержание золота 0,2 г/т. Данный ореол может являться показателем золотого оруденения. Металлогеометрические ореолы рассеяния (29, 35, 41, 44) характеризуются низкими содержаниями свинца (0,001-0,05%), цинка

(0,01–0,09%) и серебра (следы – 0,005%). Самостоятельного значения эти ореолы не имеют. Исключение составляет ореол рассеяния № 29, в котором, кроме свинца, цинка и серебра (следы – 0,005%). Самостоятельный значения эти ореолы не имеют. Исключение составляет ореол рассеяния № 29, в котором кроме свинца, цинка и серебра в отдельных пробах отмечено золото содержанием 0,2–0,5 г/т. Этот ореол является показателем золотого оруденения.

Всего известно одно коренное проявление и один шлиховой ореол рассеяния. Коренное проявление золота (4) установлено в северо-западной части приоритетным анализом штучных проб. Приурочено рудопроявление к окварцованным породам зоны разлома северо-восточного простирания. Содержание золота 0,2 г/т. Этот разлом при мощности первые десятки метров прослежен по простиранию на расстоянии выше 13 км. Учитывая значительную протяженность зоны окварцованных пород, в пределах последней возможно обнаружение промышленных концентраций золота.

Шлиховой ореол (36) рассеяния золота (знаки – 350 мг/м³) площадью 10 км² установлен на участке широтного течения р. Великой при опробовании косовых отложений с проходкой колупушей гидроизометрической длиной до 0,5 м. Золото косовое, редко пластовое. Ввиду низких содержаний золота шлиховой ореол практического интереса не представляет. В непосредственной близости от данного ореола в районе урочища Дагры в 15-метровой террасе р. Ватын единичные пробы сильно трещиноватого плотника ее дали знаковые содержания цианстового золота. Не исключена возможность, что террасовые отложения урочища Дагры содержат промышленные концентрации золота.

Серебро

Всего известно два (17 и 49) металлометрических ореола рассеяния серебра (следы – 0,001%) площадью 30 и 18 км². Пространственно они приурочены к зонам разломов северо-восточного

и северо-западных простираний. Ввиду низких содержаний серебра, самостоятельного значения данные ореолы не имеют.

Редкие металлы

Олово

Благородные металлы

Золото

Металлометрической съемкой выявлен один ореол рассеяния олова (28) площадью 7 км² в верховых р. Бутарихта. Содержание олова в пелевии от 0,005 до 0,007%, редко 0,02%. Пространственно ореол приурочен к порфиробластовым куполо-зернистым нижне-терозийским гранитоидам. Источником олова, по-видимому, являются пегматитовые жилы, развитие в пределах этого ореола. Самостоятельного значения ореол не имеет.

Вольфрам

На территории листа известно два (1 и 2) шлиховых ореола рассеяния шеелита (знаки) площадью 8 и 10 км². Ореолы расположены в низовьях р. Талакан и пространственно приурочены к полям развития самокутской и булундинской свит с широким распространением даек пегматитов и кварц-полевошпатовых жил. Последние, по-видимому, являются источником шеелита. В металлометрических пробах, отобранных из пелевия, в пределах ореола 2 зафиксирован молибден содержанием 0,01–0,03%. Практического интереса ореолы не представляют.

Мolibден

Всего известно четырнадцать коренных рудопроявлений, два металлометрических и один шлиховой ореолы рассеяния молибдена. Основной тип оруденения молибденово-кварцевый. Наиболее перспективные проявления молибдена расположены в пределах Джили-динской зоны (5, 6, 7, 8, 9, 11, 13, 22, 23, 27), где они приурочиваются к отдельным участкам тектонически ослабленных зон. Рудопроявление 8 приурочено к разлому северо-западного простирания, который прослежен на протяжении 15 км по окварцованным и обожженным гранитам и гнейсам. Ширина зоны разлома 100–200 м. В зоне разлома вскрыта серия кварцевых жил мощностью до 30 см, с узког

жражленности мелкочешуйчатого молибдена. Содержание молибдена в кварцевых жилах, по данным спектрального анализа, от 0,001 до 0,002%, редко - 0,03%.

Небольшой (10 км^2) ореол рассеяния молибдена (6) известен на правом берегу р.Октокит в районе рудопроявления 8. Во всех шликах в пределах этого ореола зафиксированы знаки молибдита. Кроме того, знаки молибдита отмечены в отдельных шликах пробах, отобранных в низовых р.Октокит и ее притоков.

По выраженности содержания и протяженности рудных тел

наиболее перспективными являются проявления (5,6,7,8,9), расположенные в низовых р.Октокит. На них нам рекомендуется постановка детализационных работ.

Остальные проявления молибдена (30,31,33,42) являются десперективными. Характеристика их приводится в прилож.3.

Тантал и ниобий

На территории листа известно пять шлиховых ореолов рассеяния минералов группы тантало-ниобатов (12,18,19,24,50). Все ореолы характеризуются знаками содержания эвкаинита и ферросигита. Пространственно они приурочены к полиминеральным зонам протерозойских гранитоморф. Последние, по-видимому, являются источником образования шлиховых ореолов рассеяния тантало-ниобатов.

Бериллий

Металлографической съемкой выявлено два ореола рассеяния берилля (0,001-0,003%). Один в верховых р.Гуллага площадью 4 км^2 (16), другой - в бассейне р.Конкории площадью $1,5 \text{ км}^2$ (51).

Пространственно ореолы приурочены к полиминеральным зонам перекристаллизованных пегматитов. Природа ореолов не выяснена.

Редкие земли

Известно одно коренное рудопроявление редких земель (40), расположенные в низовых р.Джелу. Проявление приурочено к зоне катаклизированных гранитов северо-восточного простирания мощностью около 200 м. В пределах этой зоны выделен участок вики-мой редкоземельной минерализации мощностью 4 м, представленной вкрашенностью ортита.

Содержание церия в пределах этого участка, по данным спектрального анализа, составило 0,1%, лантана до 0,1%. В ряде проб, отобранных из других участков зоны катаклизированных гранитов, обнаружены концентрации ниобия - 0,01%, церия - 0,1%, лантана - 0,1%. Рудопроявление требует постановки на нем детализационных работ.

НЕМЕТАЛЛИЧЕСКИЕ ИСКОПАЕМЫЕ

ХИМИЧЕСКОЕ СИНТЕЗ

Флюорит

Известно одно проявление флюоритовой минерализации (48), расположение на левом берегу р.Калар, в 2,2 км ниже по течению от устья р.Топор. Проявление приурочено к контакту кварц-полевошпатовой жилья с мраморизованными известняками, где отмечается неравномерная гнейзовая вкрашенность (0,5-1%) кристаллов флюорита зеленого и фиолетового цвета. Рудопроявление относится к категории бесперспективных.

Несиликатные

Графит

На изученной площади известны четыре рудопроявления графита. Все они приурочены к горизонтам мраморов архейского возраста.

Проявление 34 расположено на правом берегу р.Витим ниже устья р.Бутариха. Приурочено к горизонту мрамора мощностью 10 м. По простирию прослежено на 150 м. Графит чешуйчатый; размер чешуй 1-3 мм, редко 10 мм. Содержание графита до 10%. Сам горизонт мрамора прослежен по простирию до 7 км. Ввиду значительной протяженности горизонта мрамора проявление графита является перспективным. Проявление 20 приурочено к ксенолиту мрамора среди нижнепротерозойских гранитоидов. Видимая мощность мраморов 4 м, по простирию прослежено на 20м; графит в виде мелких чешуй размером 1-3 мм равномерно распределен в породе и составляет 5-7%, редко 10-12%. Ввиду небольших размеров ксенолита, проявление практической ценности не имеет.

Остальныерудопроявления графита (10 и 14) выше низких содержаний и небольшой протяженности граffитоносных горизонтов также практического значения не представляют.

СТРОИТЕЛЬНЫЕ МАТЕРИАЛЫ

На исследованной территории имеются четыре месторождения строительных материалов, два из которых представлены известняками, остальные галечно-гравийным материалом.

Карбонатные породы

Известняки

В и т и м с к о е месторождение известняков (37) расположено на правом берегу р.Витим в 7 км ниже устья р.Калар. Представлено оно пластом мраморизованного известняка мощностью 10 м, залегающим среди кристаллических сланцев верхней подсвиты витимской свиты. По простирию горизонт прослежен до 100 м. Месторождение с павных пор используется местным населением для обжига известняка. Промышленной ценности, ввиду незначительных за-пасов, месторождение не представляет.

Т а л а к а н с к о е месторождение (3) находится на правобережье р.Талакан. Месторождение с павных пор используется местным населением для обжига известняка. Представлено оно известняками нижней подсвиты самокутской свиты мощностью 300 м.

Таблица 4

Содержание	Содержание, %										
	SiO ₂	CaO	MgO	Al ₂ O ₃	Fe ₂ O ₃	P ₂ O ₅	S	H.ост.	CO ₂	T ₂ O ₂	П.п.п.
Минимальное	3,18	30,66	0,85	-	0,39	0,032	-	5,87	34,98	-	34,27
Максимальное	15,62	51,84	15,3	1,69	1,09	0,078	0,015	24,43	43,36	-	44,14
Среднее	8,81	45,09	5,31	0,79	0,76	0,055	0,003	13,51	38,44	-	35,57

Известняки мраморизованные белого, реже темно-серого цвета, матко-, среднезернистые. Химический состав известняков по планам четырех проб приведен в табл. 4.

Запасы известняков данного месторождения не подсчитаны. В непосредственной близости от данного месторождения значительным площади распространением пользуются известняки супулунской свиты (около 36 км²), запасы которых можно оценить в несколько десятков миллионов тонн.

О Б Л О М О Ч Н Ы Е П О Р О Т Н

Талька и гравий

Галечно-гравийный материал широко распространен в районе. Встречается он на косах и островах рек Витим и Калар. Содержание гравийно-галечной фракции в составе отложений кос и островов преобладает над песчаной. Галечно-гравийный материал может быть использован в качестве ballasta для бетонирования при предварительной сортировке гальки. В малые воды острова выступают на 1,5-2 м над уровнем воды, а в большую воду почти полностью затопляются.

В пределах изученной территории имеется два месторождения с ориентировочными подсчетами запасов гравийно-галечного материала.

Д а г р и н с к о е месторождение (38) расположено в 7 км ниже устья р. Калар на острове р. Витим. Полезная толща представлена пластообразной залежью галечно-гравийного материала шириной 700 м и шириной 500 м при мощности 1,5-2 м. Запасы ориентированно оцениваются в 31 500 м³ (Черняевский, 1939).

А к у л и н с к о е месторождение (43) находится на острове (700x400 м) р. Витим в 6,5 км выше устья р. Калар. Ориентировочные запасы этого месторождения - 180 000 м³ (Черняевский, 1939).

Из других строительных материалов следует отметить границы, запасы которых практически неограничены. Заслуживают внимания граниты, находящиеся в приусадебной части р. Калар. Это светло-серые и серые, иногда с розовым оттенком, средне-, крупно-зернистые породы. Эти граниты обладают достаточной прочностью и образуют монолиты размером 3х2x2 м³.

ПОДЛОЖНЫЕ КАМНИ

В соответствии с этапами геологического развития района выделяются пять металлогенических эпох: архейская, раннепротерозайская, позднепротерозойская, мезозойская и кайнозойская.

Породы архейского комплекса, претерпевшие повторный ультраметаморфизм в раннепротерозойское время, не являются благоприятными для обнаружения месторождений эндогенного и экзогенного типов. Исключение представляет графит, проявления которого широко развиты среди пород архейского комплекса.

Терриенно-карбонатные отложения нижнего протерозоя являются перспективными в отношении месторождений строительных материалов (известняков). По-видимому, они также являются перспективными на обнаружение месторождений меди осадочного генезиса, хотя в процессе геологосъемочных работ проявление меди было встречено только в виде налетов малахитовой залежи в единственной точке среди сланцев. Ниже подсвят самокутской свиты на правобережье р. Талакан (Сосников и др., 1960). Проявления меди осадочного генезиса среди отложений этой же подсвят имеются северо-западнее изученной территории в пределах листа 0-50-ХХIII (Фелькин, 1967г.).

Существенный интерес представляют интузивные и ультраметаморфические породы нижнего протерозоя. С ними связаны проявления молибдена и, по-видимому, тантала и ниобия. Учитывая то, что основная масса молибдена в горных породах сосредоточена в полевых шпатах, главным образом в шлагмикзазе (Таусон, 1961), то зоны раннепротерозойского ультраметаморфизма и магматизма, как

В районе известно одно проявление нефрита (47), расположено в 6 км ниже устья р. Топор на правом берегу р. Калар. Среди рыхлых аллювиальных отложений высокой горы Ю.К. Дзевановским (1944) обнаружен валун (35x20x7 см) флюшевого-зеленого нефрита, полупрозрачного в тонком изломе. Порода состоит из мономинерального агрегата актинолита неоднородного строения. Полевыми работами 1962-1966 гг. (Сосников и др., 1966) данное проявление нефрита не было обнаружено.

ОБЩАЯ ОЦЕНКА ПЕРСПЕКТИВ РАЗВИТИЯ МИНЕРАЛЬНОСТЬНОЙ БАЗЫ РАЙОНА И РЕКОМЕНДАЦИИ

содержащие огромные количества полевых шпатов, представляются наиболее благоприятными областями для формирования молибденовых месторождений. И только глубокий эрозионный срез раннепротерозойских плутонитических массивов значительно снижает возможность обнаружения эндогенных месторождений молибдена раннепротерозойского возраста. Кроме того, раннепротерозойские гранитоиды метасоматического генезиса, вероятно, являются перспективными на обнаружение в них месторождений тантала и ниобия.

С позднепротерозойским тектоническим циклом, по-видимому, связано формирование гидротермальных проявлений вольфрама.

С мезозойским тектоническим циклом связано формирование гидротермальных проявлений молибдена, флюорита, свинца и цинка, серебра и золота. Все они пространственно приурочены к зоне мезозойской тектоно-магматической активизации.

Кайнозойская эпоха характеризуется формированием месторождений строительных материалов и россыпей золота.

Площадное распространение полезных ископаемых определяется литологическими и структурными факторами. Наибольшее количество проявлений сосредоточено в пределах двух рудных зон: Джилидинской и Каларской. Первая из них совпадает с однодиленной группой разломов. Ширина зоны 10–15 км, штатна 70 км. В пределах этой зоны широким развитием пользуются раннепротерозойские гранитоиды и разрывные нарушения, закончившие свое развитие в раннепалеозойское и четвертичное время. Ведущую роль играют проявления молибдена и ореолы рассеяния тантало-ниобатов.

Генетическая связь проявлений молибдена Джилидинской зоны с образованиями раннепротерозойского тектономагматического цикла подтверждается наличием вкрапленности молибденита в пегматитовых жилах раннепротерозойского возраста на правобережье р. Октох. Что же касается других проявлений этой зоны, то устанавливается только их четкая пространственная связь с гранитоидами раннепротерозойского возраста.

Каларская зона простирается по обоим берегам р. Калар на 56 км в северо-восточном направлении. Ширина зоны составляет 18 км. Зона с севера и юга ограничена двумя разломами северо-восточного простирания мезозойского возраста. Металлогеническая специализация зоны определяется значительной зараженностью молибденом, синтом, цинком, серебром и в меньшей мере – золотом. Рудопроявления в указанной зоне контролируются многочисленными различными нарушениями и инструментами мезозойского возраста.

Вышеизложенные закономерности площадного распространения полезных ископаемых позволяют в первую очередь рекомендовать проведение полисково-съемочных работ масштаба I:50 000 на следующих участках:

1) в северо-восточном фланге Джилидинской рудной зоны с целью выявления и оценки коренных месторождений молибдена. Особенно тщательно и в первую очередь должна быть сплошь сконцентрирована полоса вдоль разлома северо-западного простирания, расположенного на правобережье р. Октохит;

2) на водоразделе рек Усмун и Бутумна с целью выявления коренных месторождений тантало-ниобатов. Для выяснения природы шахматных тантало-ниобатовых ореолов необходимо опробовать металлические транссиениты и граниты раннепротерозойского возраста.

Во вторую очередь рекомендуется провести детализационные работы на золото по левобережью р. Готор.

При проведении детальных работ следует дать оценку проявлению графита, расположенному на правом берегу р. Витим ниже устья р. Бугарихта.

ПОДЗЕМНЫЕ ВОДЫ

По условиям залегания полезные воды исследованного района подразделяются на надмерзлотные и подмерзлотные.

Н а д м е р з л о т н ы е в о д ы разбиты повсеместно, связаны с деятельным слоем различных по составу и происхождению образований, функционируют в теплое время года и зимой полностью перемерзают. Среди этих вод отмечены пластово-поровые воды различных четвертичных отложений и трещинные воды кристаллических пород. Водоупором характеризуемых вод является кровля многолетнемерзлых пород, глубина затекания которой совпадает с глубиной сезонного оттаивания деятельного слоя и колеблется от 0,2 до 5 м. Надмерзлотные воды характеризуются свободным уровнем и отсутствием напора в теплые времена года. Движение вод совпадает с направлением поверхности стока. Питание их осуществляется за счет атмосферных осадков, оттаплиания деятельного слоя и конденсации водяных паров в порах грунта в результате резких колебаний суточных температур. Области питания надмерзлотных вод совпадают с площадями их распространения, а разгрузка их происходит у подножий склонов и в уступах террас.

Мощность, глубина заряжания, водообильность и реки на мерзлого водоносного горизонта неустойчива и определяются глу-
биной оттавания пеятельного слоя, количеством атмосферных осад-
ков, гидрометрическим положением, угломоном поверхности водоупора,
а также экспозицией склонов и литологическим составом водовме-
щих пород. Наиболее водообильный с высоким уровнем надмерзлот-
ной горизонт располагается в долинах рек и на уплощенных водораз-
делах, особенно в седловинах. Повышенная водообильность седо-
вян и уплощенных гольцов объясняется преобладанием в литологи-
ческом составе водоносного горизонта мелкозернистого материала.
На склонах, благодасть хорошим физико-тактическим свойствам водове-
щущих пород и быстрому скатыванию вод к основаниям склонов, уро-
вень надмерзлотных вод практически совпадает с глубиной сезонного
оттавания. У подножий склонов надмерзлотные воды образуют рас-
сенные выходы и появляются рыхлыми отложениями долин.

С наступлением зимы в верхней части водоносного горизонта
образуется мерзлый водоупор, и воды на отдельных участках стано-
вятся слабо напорными, а выходы их сосредоточенными. Напор сохра-
няется до полного промерзания водоносного горизонта и приводит к
образованию наледей и сезонных бутров пучения.

Надмерзлотные воды имеют нейтральную реакцию ($\text{pH}=6,6$) и
являются ультрапресными с минерализацией 32–65 мг/л. Общая и по-
стоянная жесткость составляет 0,9–1,1 мг-экв/л, карбонатная –
0,7 мг-экв/л. По химическому составу они относятся к хлорино-
гидрокарбонатно-магниево-кальциевому или хлоридно-гидрокарбонат-
но-натриево-кальциевому классу, что выражается следующими форму-
лами Кургова:

$$\frac{\text{M}_0,05 \text{ HCO}_3}{\text{Ca}50 \text{ Mg}40} \text{ и } \frac{\text{M}_0,05 \text{ HCO}_3}{\text{Ca}57 \text{ Na}25}.$$

Неустойчивость режима и сезонное существование надмерзлотных
вод позволяет использовать их лишь как источник временного
питьевого водоснабжения.

П о д м е р з л о т н ы е в о д ы по условиям циркуля-
ции разделены на: пластово-горные воды рыхлых отложений и тре-
щинных и трещинно-жильные воды кристаллических пород и зон раз-
рывных нарушений.

Пластово-горные надмерзлотные воды приурочены к рыхлым
отложениям долин крупных рек района (Витим, Калар и пр.) и Джи-
линдинской впадине. Мощность надмерзлотного водоносного горизон-

та не установлена, но в Джилиндинской впадине и в расщепленных
участках долин, по-видимому, довольно значительна.

Питание надмерзлотного водоносного горизонта осуществляется
за счет трещинных, трещинно-жильных вод, а также за счет атмосфер-
ных осадков. Водопроводящими путями, связывающими характеристи-
ческие воды с областями питания, служат трещины и сквозные талики, и
несомненно, существующие в этих зонах и под крупными водотоками и
озерами.

Широтные питании надмерзлотных вод во много раз превосходят
площади их распространения и в результате их штогоянного попол-
нения они являются напорными. В летнее время выходы их рассеяны.
В зимний период надмерзлотные воды образуют крупные наледи, от-
меченные по рекам Калар, Ниж. Джилинда, Таксима, Долуга. Химичес-
кий состав и условия циркуляции пластово-горных надмерзлотных
вод не изучены.

Трещинные и трещинно-жильные воды кристаллических пород и
зон тектонических нарушений циркулируют в основном в гранитоидах,
кристаллических сланцах и гнейсах архея, нижнего протерозоя, одно-
родных по своим гидрогеологическим особенностям.

Интенсивная трещиноватость этих пород обуславливает трещин-
ный тип их водопроницаемости и высокую водообильность, что при
широкой распространенности пород архея и нижнего протерозоя и
создает огромные запасы трещинных вод.

Глубина развития эффективной трещиноватости не установлена,
но, очевидно, значительно превышает мощность зоны многолетней
мерзлоты. Верхним водоупором трещинных вод служит нижняя граница
зоны многолетнемерзлых пород, вероятная максимальная глубина
затяжания которой 100–200 м (Баранов, 1965).

Мощность нижнего водоупора трещинных вод в общем повторяет очертания
нижней рельефа, то наилучше водообильными являются пониженные
участки и выходы источников трещинных вод наблюдается в прибор-
товых частях долин и в зонах тектонических нарушений. Зимой в
местах их выхода по рекам Амуннака, Бутумна, Октотик и пр.
образуются крупные наледи, оттавающие к концу июля – началу
августа. Источники характеризуемых вод имеют чаще всего рассеян-
ные выходы и ледяные около 1,5 л/сек. Источником питания под-
мерзлотных вод являются атмосферные осадки и надмерзлотные во-
ды.

Трещинные и трещинно-жильные воды имеют нейтральную реакцию ($\text{pH}=6,6$) и являются мягкими с величиной общей, постоянной
и карбонатной жесткости не более 0,5 мг-экв/л. Величина минера-
лизации их около 45 мг/л.

По химическому составу описание воды относится к хордино-гидрокарбонатно-кальциево-натриевым, и наиболее типичный состав их выражается следующей формулой Курлова:

М_{0,04} НСО₃55 С128
№67 Са27.

Трецины и трещинно-жильные воды могут быть использованы для питьевого и хозяйственного водоснабжения.

ЛИТЕРАТУРА

ОПУБЛИКОВАНИЯ

Баранов И.И. Многолетия и сезонная мерзлота. В кн.: Природные условия и естественные ресурсы ССР. Предлагалъе. "Наука", 1965.

Восторговский С.С. Тектоника Сибири. Изд. МГУ, 1962.

Тучев В.Н. Новые данные о верхней возрастной границе нижнегалеозойских гранитоидов южной части Витимского плоскогорья. Тезисы докторов первой научной конференции им. В.А. Обручева Забайкальского отдела Географ. об-ва ССР. Чита, 1963.

Дзевановский Ю.К. О юго-восточном склончатом обращении Сибирской платформы. Тр. ВСЕГЕИ, нов. серия, том 97, 1964.

Другова Г.М., Неклюдов А.Н. Полиметаморфизм южно-алтайских образований южной части Алтанско-Станового хребта. Тр. лаб. геол. южно-алтайской, вып. I, 1960.

Халисан Д. Геологическая карта ССР масштаба 1:200 000, серия Прибайкальская, лист № 50-IX. Объяснительная записка. Геолгизлит, 1963.

Корико С.П. О возрасте метаморфических пород западной части Станового хребта. Тр. ВСЕГЕИ, вып. 5, 1962.

Павловский Е.В. Геологическая история и геологическая структура Байкальской горной области. Тр. ГИН, вып. 99, геол. сер., 31, 1948.

Салоп Л.И. Теология Байкальской горной области. Том I. "Непра", 1964.

Салоп Л.И. Теология Байкальской горной области. Том II. "Непра", 1967.

Судовиков Н.Г., Неклюдов А.Н. К вопросу о возрасте ставного комплекса. Тр. лаб. геол. южно-алтайской, вып. 1961.

Смело вская С.П. Государственная геологическая карта ССР масштаба 1:1 000 000, лист № 50-50 (Сретенск). Объяснительная записка. Госгеотехиздат, 1966.

Смело вская С.П. Новые данные по истории геологии-химического развития Олекмо-Витимской горной страны. -Изв. Забайкальск. фил. Географ. об-ва ССР. Том II, вып. I. Чита, 1966.

Смело вская С.П. Стратиграфия покембрия и нижнего палеозоя Олекмо-Витимской горной страны (север Читинской области). -Зап. Забайкальск. фил. Географ. об-ва ССР, вып. XXII. Тр. отдел. геол. им. В.А. Обручева, № 4. Чита, 1966.

Таусон Л.В. Геохимия редких элементов в гранитоидах. Изд-во АН ССР, 1961.

Флоренсов Н.А. Геоморфология. В кн.: Геология ССР, т. XXXI, ч. I. Госнаутехиздат, 1961.

ФОНДЫ I/

Алешко Е.Е., Столбина И.В. и др. Геологическое строение и полезные ископаемые бассейнов рек Тундак и Намарахит, левых притоков р. Кында (юго-восточная часть листа 0-50-XXIII). Отчет о работе партии № 3 за 1962 г. 1963.

Алешко Ю.Б., Столбина И.В. и др. Геологическое строение и полезные ископаемые бассейна среднего течения р. Сильбан (северо-восточная часть листа 0-50-XXIII). Отчет о работе партии № 3 за 1963 г. 1964.

Алешко Ю.Б., Столбина И.В. Геологическое строение и полезные ископаемые бассейна рек Кында, Малая и Сильбан (северо-западная часть листа 0-50-XXIII). Отчет о работе партии № 3 за 1964 г. 1965.

Алешко Ю.Б., Столбина И.В. и др. Геологическое строение и полезные ископаемые бассейна среднего и верхнего течения р. Таксима (юго-западная часть листа 0-50-XXIII). Отчет о работе партии № 3 за 1965 г. 1966.

I/ Работы, местонахождение которых не указано, хранятся в геологическом фонде Читинского ГГУ.

Толошуков П.М. Геологическое строение и полезные ископаемые территории бассейна нижнего течения р.Карента в междуречье Битима и Нерчи. 1965.

Гулин В.А. Результаты геологосъемочных и поисковых работ масштаба 1:200 000 Калаканской геологосъемочной партии на поймах междуречья Тунгиро-Олекмы и правобережья р.Битима в районе гор.Калакан за 1951 год. 1952.

Горелов Б.Г., Раузер А.А. и др. Предварительный отчет по теме: "Магматизм Станового хребта и Олекмо-Битимского нагорья". 1964.

Горелов Б.Г., Савосина А.К. Промежуточный отчет по теме: "Магматизм Станового хребта и Олекмо-Битимского нагорья". 1965.

Дехтерев Г.Б. и др. Геологическое строение и полезные ископаемые бассейна среднего течения р.Витим (шото-восточная часть листа 0-50-XXXII). Отчет о работе партии № 1 за 1961 г. 1962.

Иванов М.В., Горохиков В.Д. и др. Отчет о гравиметрических работах, проведенных Гравиметрической партией в 1961-1962 гг. на территории северных и центральных районов Читинской области. 1962.

Колесников В.И. и др. Геологическое строение и полезные ископаемые рек Джело и нижнего течения Эйнок (шото-восточная часть листа 0-50-XXXII). Отчет о работе партии № 4 за 1962 г. 1963.

Кибанин Г.А. Геологическая карта СССР масштаба 1:200 000, серия Прибайкалья, лист № 50-ЛГ. Объяснительная записка, 1964. Фонд Бурятского ГУ.

Киселева З.Н., Кислицин В.Н. и др. Объяснительная записка к геоморфологической карте Олекмо-Каларского золотоносного района, 1965.

Огородников В.Л., Мастюлин Л.А. Отчет по теме: "Обобщение и анализ материалов региональных геофизических работ для составления прогнозно-металлогенической карты Ило-Восточного Задайката масштаба 1:200 000". 1965.

Озерский А.Ф., Борисов В.Г. и др. Геологическое строение и полезные ископаемые бассейна р.Олекмы в низовьях рек Муоклан. Средняя Муокла и Бармакит. (окончательный отчет Средне-Муоклинской геологосъемочной партии за 1963-1965 гг.). 1966.

Смоловский С.П., Лихосаденко Г.А. Отчет Докеморийской тематической партии за 1962 год. 1963.

Смоловский С.П., Фалькин Е.М. и др. Отчет тематической партии № 4 за 1963 год. 1964.

Смоловский С.П., Ленох Л.Н. и др. Объединительная записка к геологической карте и карте полезных ископаемых северной части Читинской области масштаба 1:500 000. 1965.

Смольский П.А. Результаты геологических исследований в районе среднего течения р.Витим (лист №-50). Окончательный отчет Калаканской геологосъемочной партии за 1944 г. 1945.

Суслеников В.В., Побин М.А. и др. Отчет по ароматическим работам в районе Восточного Забайкалья за 1955 г. 1956.

Токин В.Ф., Ляшонок Г.И., Окунев Л.Е. и др. Отчет о результатах работ партии № 192 Сосновской экспедиции за 1950 г. 1952.

Фалькин Н.А., Орлов И.Б. и др. Геологическое строение и полезные ископаемые бассейна среднего течения р.Калар. (Промежуточный отчет Средне-Каларской геологосъемочной партии за 1965 г.). 1966.

Фалькин Е.М. Окончательный отчет тематической партии № 4 по теме: "Стратиграфия покеморийских образований северной части Читинской области". 1966.

Приложение I

Список материалов, использованных для составления карты полезных ископаемых				
№ п/п	Фамилия и ини- циалы автора	Название работы	Год соз- дания издания	Местонахож- дение мате- риала, его фондовид, № и место издания
I	2	3	4	5
I	Дзеванов- ский Ю.К.	Теология и полезные ископаемые правобе- режья р.Витим между пунктами Калакан и Бокаревской	1945	728
2	Ляханик В.М. Заделин Е.И. и др.	Пояснительная записка к карте золотоносно- сти Читинской области	1959	009349
3	Напарта В.А., Юсупов Н.Б.	Промежуточный отчет о результатах поиско- вых работ Калаканской партии за 1962 г.	1963	10484
4	Сметов- ский С.П., Балбасов В.Ф. и др.	Промежуточный отчет по геологосъемочным работам масштаба 1:1 000 000, прове- денным Тунгокоченской партией в 1965 г.	1957	8199
5	Сосницкий О.В. Шипилов А.И. и др.	Теологическое строе- ние и полезные иско- паемые юго-западной части Нижне-Каларско- го хребта.(Отчет Ниж- не-Каларской партии о работах 1962-1965 гг.)	1966	II407

1	2	3	4	5
6	Черняевский В.И.	Отчет по рекогносиро- вочным геологическим исследованиям Калакан- ского варианта трассы на участке р.Витим Отчет о результатах спектрометаллометри- ческих и геологических работах, проведенных Яблоновой партией в 1960 г. на правобе- режье среднего тече- ния р.Витим	1939	7190

I/ Материалы хранятся в геологическом фонде Читинского
ГГУ.

Приложение 2

СПИСОК ПРОЯВЛЕНИЙ ПОЛЕЗНЫХ ИСКОПАЕМЫХ,
ИСКОПАЕМЫХ, ПОКАЗАННЫХ НА ЛИСТЕ № 50-Ш
КАРТЫ ПОЛЕЗНЫХ ИСКОПАЕМЫХ

МАСШТАБ 1:200 000

№ по кар- те	Индекс клетки на карте	Наименование места- рождения и вид по- лезного иско- паемо- го	Состоя- ние эк- сплуа- тации	Тип мес- то-ро- ждения	№ исполь- зованного материа- ла по списку (прил. I)
1	2				3

СТРОИТЕЛЬНЫЕ И ДРУГИЕ МАТЕРИАЛЫ

Карбонатные породы

Известняки

37	ИУ-1	Витимское	Законсервировано	К	5
3	I-I	Талаканское	То же	К	5

О доломичные породы

Галька и гравий

43	ГУ-2	Акулинское	Законсервировано	К	6
38	ГУ-1	Дагринское	То же	К	6

Приложение 5

СПИСОК ПРОЯВЛЕНИЙ ПОЛЕЗНЫХ ИСКОПАЕМЫХ,
ПОКАЗАННЫХ НА ЛИСТЕ № 50-Ш КАРТЫ

ПОЛЕЗНЫХ ИСКОПАЕМЫХ МАСШТАБ 1:200 000

№ по кар- те	Индекс клетки на карте	Название (местона- хождение) проявле- ния и вид полезно- го иско- паемого	Характеристика проявления	№ исполь- зованного материала по списку (прил. I)
1	2			3

МЕТАЛЛИЧЕСКИЕ ИСКОПАЕМЫЕ

Цветные металлы

Свинец и цинк

15	I-4	р.Верх.Кадакан	Металлометрический ореол рассеяния свинца (0,005– 0,01%), цинка (0,01–0,03%)	5
----	-----	----------------	--	---

25	II-3	р.Бутумна	Металлометрический ореол рассеяния свинца (0,05– 0,01%, редко 0,02–0,05%), цинка (0,01– 0,03%)	5
----	------	-----------	--	---

39	ГУ-1	р.Витим	Кварцевая же- ла с вкрашен- ностью сульфи- дов. Содержание свинца 0,21– 0,79%, цинка 0,06–0,065%, меди 0,21–0,74%	1
----	------	---------	--	---

I	2	3	4	5	
I	2	3	4	5	
26	II-3	р.Бутумча	Цинк Металлометрический ореол рассеяния цинка (0,01-0,05%)	44 5 45 5 5	
27	II-2	р.Узунчы	Полиметаллические руды Металлометрический ореол рассеяния цинка (0,01-0,09%), свинца (0,005-0,01%), серебра (следы).	44 5 5 5 5	
29	III-2,3 IV-2,3	р.Джелду	Металлометрический ореол рассеяния цинка (0,007-0,05%), свинца (0,01-0,05%), серебра (следы - 0,005%).	3 3 3 3 3	
32	III-3 IV-3	т.Токор	Металлометрический ореол рассеяния свинца (0,005-0,01%, редко 0,02-0,05%), цинка (0,01-0,09%), серебра (следы - 0,003%).	5 5 4 4 4	
35	IV-I	р.Бугарихта	Металлометрический ореол рассеяния свинца (0,009%), серебра (следы)	3 3 8 8 8	
41	IV-2	р.Калар	Металлометрический ореол рассеяния свинца (0,009%), цинка (0,01-0,09%), серебра (следы)	3 3 9 9 9	
44	IУ-2	р.Каннорин	Металлометрический ореол рассеяния цинка (0,01-0,09%), свинца (0,001-0,009%), серебра (следы 0,003%)	44 5 5 5 5	
45	IУ-3	Топорское	Зона дробленых гранитов с вкраплением стекла сульфидов. Содержание свинца 0,001- 0,01%, редко 0,5%, цинка 0,01-0,3%, се- ребра следы - 0,001%	45 5 5 5 5	
			Благородные металлы Золото		
			Левый при- ток р.Такси- ма	Окварцевание горных в зоне разлома. Содер- жение золота в штучной пробе 0,2 г/т	5 5 5 5 5
			р.Октохит	Кварцевая жила с ред- кой вкрапленностью молибдена 0,001%	5 5 5 5 5
			р.Октохит	В обломках кварца мел- кая вкрапленность молибдениита. Содержа- ние молибдена 0,001- 0,002%, единичные про- бы - 0,03%	5 5 5 5 5
				Кварц-полевошпатовая жила с редкой вкрап- ленностью молибдениита. Содержание молибдена 0,001%	5 5 5 5 5

I	2	3	4	5
II	I-3	р.Октокит	Прожилки кварца с редкой вкрапленностью молибдена 0,002%	5
I3	I-3	р.Октокит	Мелкая редкая вкрапленность молибдена 0,002% в обожженных обломках пегматита. Содержание молибдена 0,001%	5
22	II-2	р.Усмун	Кварцевая жила с редкой вкрапленностью молибдена 0,002%	5
23	II-2	р.Усмун	Металлометрический ореол рассеяния (0,001-0,004%)	5
36	II-1	р.Витим	Шлиховой ореол рассеяния (знаки-350 мт/м ³)	5
		Серебро		
17	II-1	р.Гулита	Металлометрический ореол рассеяния (следы - 0,001%)	7
49	IV-3	р.Конюрин	То же	5
		Р е д к и е м е т а л л и		
		Олово		
28	III-I IV-I	р.Бутарихта	Металлометрический ореол рассеяния (0,005-0,007%, редко 0,02%)	5

I	2	3	4	5
		Вольфрам		
		р.Талакан	Шлиховой ореол рассеяния шеелита (знаки)	5
		р.Талакан	То же	5
		Молибден		
		р.Октокит	Прожилки кварца с редкой вкрапленностью молибдена 0,001%	5
		р.Октокит	Шлиховой ореол рассеяния молибдена 0,002%	5
		р.Октокит	Шлиховой ореол рассеяния молибдена 0,001%	5
		р.Балазек	Металлометрический ореол рассеяния молибдена (0,001-0,004%)	5
		р.Калар	Зона катаклизированных кристаллических сланцев с вкрапленностью молибдена 0,001-0,002%	5
		р.Топор	Пегматитовые прожилки с редкой вкрапленностью молибдена. Содержание молибдена 0,001%	5
		р.Калар	Прожилки кварца с вкрапленностью молибдена. Содержание молибдена 0,001%	5
			В сводах антипа вкрапленность мелких чешуек молибдита. Содержание молибдена 0,05%	1

I	2	3	4	5
46	IV-3	р.Толор	Дайка пегматита с мелкой вкрапленностью молибдена. Содержание молибдена 0,01%	5
47	I-3		Тантал и ниобий	
48	IV-3	р.Калар	Химическое сырье НЕМЕТАЛЛИЧЕСКИЕ ИСКОПАЕМЫЕ Флюорит	5
49	II-2	р.Ускун	Шлиховой ореол рассеянния тантала-ниобиатов (знаки), знаки шеэлита и молибденита	5
50	II-2,3	р.Бутумса	Шлиховой ореол рассеянния тантала-ниобиатов (знаки)	5
51	II-2,3	р.Джету	То же	5
52	III-2	р.Коннори	То же	5
53	IV-3		Бериллий	
54	II-1	р.Гуллинга	Металлометрический ореол рассеяния (0,001-0,003%).	7
55	IV-3	р.Коннори	Редкие знаки	5
56	IV-2	р.Джалу	Окварцованные грани- ты с редкой вкрапленностью ортита. Содержание ниобия 0,01%, пермия 0,1%, лантана 0,1%	3
57				34
58		р.Витим	Химическое сырье НЕМЕТАЛЛИЧЕСКИЕ ИСКОПАЕМЫЕ Флюорит	5
59			Кварц-долевошпатовая жила с флюоритом. Содержание флюорита 0,5-10%	5
60			Графит	
61			Мраморизованые известняки с вкрапленностью графита с размером чешуй до 5 мм. Содержание графита 5%	5
62			Сланцы мраморизованных известняков с мелкой вкрапленностью графита. Содержание графита 2-3%	5
63			Р.Ниж.-Джалин-да	
64			Мраморизованные известняки с мелкой вкрапленностью графита. Содержание графита 5-7%, реже 10-12%	5
65			То же. Содержание графита не более 10%	5

1	2	3	4	5
47	ГУ-3	р.Калар	ПОДЕЛОЧНЫЕ КАМНИ В аллювиальном валуне нефрита фиолетово- зеленого цвета (35x20x7 см)	I

СОДЕРЖАНИЕ

Стр.

Введение	3
Стратиграфия	6
Интузивные образования	32
Тектоника	55
Геоморфология	64
Полезные ископаемые	70
Подземные воды	81
Литература	84
Приложение	88